

الخرجات البيوميكانيكية للكرة الذكية وعلاقتها بسرعة الرجل المصوبة لحظة التصويب على مرمي كرة القدم

د. سامي حامد السيد بسيونى

دكتوراه في التدريب الرياضي وعلوم الحركة
كلية التربية الرياضية للبنات
جامعة الإسكندرية

أ.م.د. أيمن مصطفى محمد أبو العلا

أستاذ مساعد بقسم التدريب الرياضي وعلوم الحركة
كلية التربية الرياضية للبنات
جامعة الإسكندرية

المقدمة ومشكلة البحث :

إن التطور العلمي في الآونة الأخيرة يسير نحو كيفية تطبيق الأسس والقوانين والنظريات العلمية التي توصل إليها العلوم المختلفة المرتبطة والمتعلقة والمؤثرة على حركة الإنسان بشكل عام ، وعلى حركة الرياضيين بشكل خاص، والتي تساعد في بناء المعلومات المتكاملة للمهارات فتؤدي لتحقيق أعلى درجة من الكفاءة في الأداء المهاري .

ويعد علم الميكانيكا الحيوية في مقدمة هذه العلوم التي تسعى لدراسة وتحليل الأداء المهاري وذلك بهدف ايجاد حل كثير من مشكلات الأداء للوصول إلى المستويات العليا ، لذا فمن الضروري استخدام تقنية حديثة للكشف عن مميزات الأداء (الحركية) وكذا الحلول التقنية المتقدمة لتسجيل ودراسة محددات وخصائص الحركة للكشف عن مميزات الأداء المهاري.

فتتمثل صعوبة الأداء المهاري في الشكل الذي يتخذه الجسم أثناء الأداء حيث أن المعلومات الفنية عن أي مهارة تعني كيفية الأداء في ضوء مجموعة من المعلومات البيوميكانيكية التي تساعد على تحديد الإجراءات الحركية المطلوبة لإنجاز الأداء بأعلى كفاءة ممكنة وبأقل جهد(٢٢:١)

و تعتبر رياضة كرة القدم من الرياضات التي تطورت تطويراً كبيراً في الآونة الأخيرة على مستوى العالم وبصورة سريعة حيث ظهر ذلك في كأس العالم بقطر عندما تم استخدام تقنية حديثة خلال المباريات وهي الكرة الذكية واستخدمت وقتها بهدف مساعدة تقنية الفيديو (Referee Assistant Video) على ضبط حالات التسلل بأكبر دقة ممكنة.

فهذه التقنية تمكّن من جمع بيانات لكل لمسة بمعدل ٥٠٠ مرة في الثانية، يتم إرسالها فوراً للحكام في غرفة "الفار" لمساعدتهم في اتخاذ القرار المناسب، فاستخدام الكرة الذكية في التدريب تعمل على تحسين أداء اللاعبين لمهارات الركل والتمرير والاستقبال عن طريق تحويل حركتهم وسرعتهم وتوجيههم فهي تقنية حديثة، حيث أنها مزودة بتقنيات الاستشعار والاتصالات التي تسمح بجمع البيانات حول مخرجات الكرة من (سرعة للكرة ، دوران ومسار طيران الكرة والسرعة والتوجيه والقوة والضغط ، وبالتالي تسمح بتبادل البيانات بين اللاعبين والمدربين بطرق أكثر فعالية، وأيضا تعمل على تحسين الأحساس بسرعة الكرة خاصة عند أداء مهارة التصويب على المرمى . (١٢)

حيث يعتبر التصويب من أهم المهارات الحاسمة والمهمة في كرة القدم ، فهو يمثل الحد الفاصل والحادي في نتيجة المباراة حيث أن الأداء الخططي للعبة تكون عديمة الفائد إذا لم تنتهي بالتصويب بطريقة أداء صحيحة وفعالة للسرعة والدقة المطلوبة لنجاح التصويب . (٧٩:٨٤)

يدرك Kellis (٢٠٠٧) أن التصويب يعتمد ميكانيكيًا على ثلاثة مبادئ وهي النقل الحركي ، مجموع القوى ، وكيفية الاستفادة من الروافع وتعمل هذه المبادئ مجتمعة معاً على نقل القوة من الجسم إلى القدم لتوليد السرعة للكرة، وتعد سرعة الكرة وزاوية التصويب والدقة ثلاثة معايير بالغة الأهمية لتحقيق تصويب ناجح ويعدهم وتحليل هذه المعايير أمرًا ضروريًا لمساعدة المدربين واللاعبين لنجاح التصويب. (١٥٤:٩-١٦٥)

يوضح Hume, P. A., Keogh, J., & Reid, (٢٠٠٥) أن حركة أجزاء الجسم أثناء التصويب تعمل بصورة متراقبة وتؤثر على بعضها البعض، كما في معظم الأنشطة الرياضية التي تتضمن الرمي أو الضرب أو الركل، فمن المهم توليد أقصى سرعة وذلك يحدث عند أبعد نقطة في الجسم من خلال استخدام مبدأ الرابط الحركي وجمع القوى بشكل حركي متسلسل . (٤٤٩:٨-٤٢٩)

يشير Ferdinands (٢٠١١) أن استخدام السلسة الحركية في ركلة القدم يبدأ من الاقتراب، تليها لمسة القدم الثابتة على الأرض، وأخيراً حركة القدم والركبة المستخدمة في الركلة حيث إذا تم الأداء بشكل صحيح، فإن الطاقة الحركية الناتجة تكون أكبر من مجموع الأجزاء المكونة للحركة ، حيث تبدأ الحركة من الأجزاء الأكبر والأقرب، وصولاً إلى الأجزاء الأصغر والأبعد، مما يساعد على نقل كمية الحركة والقوى بشكل فعال فالركلات الناجحة والمؤثرة تستخدم القوة الطردية وحفظ كمية الحركة الزاوية لتحقيق أقصى سرعة لقدم عند تلامسها بالكرة، وبالتالي تحقيق أكبر سرعة للكرة وبهذه الطريقة، يتم استخدام مبدأ الرابط الحركي للحركة السريعة التي تظهر عند الركلات الناجحة. (٧: ٢٤٩ - ٢٥١)

ويؤكد N Augustus, S., Hudson, P. E., & Smith (٢٠٢١) أن تطبيق مبدأ الرابط الحركي وجمع القوى أثناء التصويب لكرة القدم الذي يعمل على زياده السرعة وذلك من خلال الاستفاده من الروافع والترابط بين المفاصل والعضلات والأوتار حيث يمثل هنا الرافعه من النوع الثالث فكلما كانت ذراع المقاومة أطول زادت القference على زيادة السرعة الزاويه والخطيه فيتمثل نظام الروافع في ركلة القدم من مفاصل الفخذ والركبة التي تعمل كمحور الانكاز، وعظم الفخذ وعظام الساق (القصبة والشظية) التي تعمل كأذرع رافعة، بالإضافة إلى العضلات والأوتار التي تولد القوة عبر هذه المفاصل لذلك فإن تمديد القدم بالكامل أثناء التصويب أمر أساسي لزيادة سرعة القدم عند ملامستها للكرة . (٦: ٢٢)

فيعتبر التصويب المهارة الرئيسية المستخدمة لتسجيل الأهداف ، ويطلب التصويب ركل الكرة بسرعة ودقة عالية لتسديد الكرة على مسافات بعيدة من حارس المرمى أو الوصول إلى هدف دون الحد الأقصى في وقت أقل، وتعتبر مرحلة التلامس هي أهم عنصر في عملية التصويب فهي المرة الوحيدة التي يلامس فيها اللاعب الكرة بقوه لإنتاج مسار الطيران ومن المهم ضمان كفاءة التأثير العالية والتركيبة المناسبة من خصائص الطيران التي يتم نقلها إلى الكرة أثناء الركل لنجاح التصويب. (٤: ٣)

والجدير بالذكر وفي حدود علم الباحثين ومن خلال الأطلاع على الدراسات العلمية والمراجع وجد أن بعض الباحثين تناولوا تحليل التصويب بصورة عامة دون الخوض في التعرف على مدى الترابط للمخرجات البيوميكانيكية للكرة الذكية وبين سرعة الرجل المصوبة خلال لحظتي المرحجه الامامية ولحظة لمس القدم للكرة وعلاقتها بسرعة الكرة وزاويه دورانها مما لها تأثير في التصويب على المرمى وبالتالي يصعب على حارس المرمى صدها ، فاكتساب المزيد من المعرفة حول مخرجات الكرة الذكية وتأثيرها على فاعلية التصويب يوفر إمكانية لمساعدة المدربين واللاعبين على تحسين تكتيكي الركل وتعزيز الأداء المهاري، وعلاوة على ذلك يمكن أن تساعد هذه المعرفة في سد الثغرات في الأبحاث العلمية حول كرة القدم والتي قد تساعد في توجيه التنبؤات المستقبلية في التصويب الفعال وتكتيكات كرة القدم بصفة عامة، مما دعى الباحثان لإجراء هذه الدراسة لاكتمال منظمه المعلومات العلمية ولفتح أفاق جديدة للعاملين في مجال علم الحركة والتدريب الرياضي في تطوير الأداء المهاري وأملاً أن يكون بمثابة إضافة علمية جديدة .

هدف البحث :

يهدف البحث الى التعرف على المخرجات البيوميكانيكية للكرة الذكية وعلاقتها بسرعة الرجل المصوبة لحظة التصويب على مرمى كرة القدم من خلال :

- ١- التعرف على أهم المخرجات البيوميكانيكية للكرة الذكية و لسرعة الرجل المصوبة خلال لحظتي المرحجه الامامية وأقصى سرعة لمس الكرة) لحظة التصويب على المرمى.
- ٢- تحديد العلاقة الارتباطية بين المخرجات البيوميكانيكية للكرة الذكية وسرعة الرجل المصوبة خلال لحظتي المرحجه الامامية وأقصى سرعة لمس الكرة) لحظة التصويب على المرمى.
- ٣- تحديد العلاقة الارتباطية بين المخرجات البيوميكانيكية للكرة الذكية خلال لحظتي المرحجه الامامية وأقصى سرعة لمس الكرة لحظة التصويب على أربع أركان المرمى.

تساؤلات البحث:

- ١- ما أهم المخرجات البيوميكانيكية للكرة الذكية و لسرعة الرجل المصوبة خلال لحظتي المرحجه الامامية وأقصى سرعة لمس الكرة) لحظة التصويب على المرمى ؟
- ٢- هل توجد علاقة ارتباط ذات دلالة إحصائية بين المخرجات البيوميكانيكية للكرة الذكية وسرعة الرجل المصوبة خلال لحظتي المرحجه الامامية وأقصى سرعة لمس الكرة) لحظة التصويب على المرمى ؟
- ٣- ما العلاقة الارتباطية بين المخرجات البيوميكانيكية للكرة الذكية خلال لحظتي المرحجه الامامية وأقصى سرعة لمس الكرة لحظة التصويب على أربع أركان المرمى ؟

إجراءات البحث :

استخدم الباحثان المنهج الوصفي القائم على التحليل الحركي البيوميكانيكي لملائمه لطبيعة البحث.

عينه البحث :

تم اختيار عينه البحث بطريقة عشوائية من لاعبي فريق كرة القدم تحت ١٦ سنة بنادي سيمرنج club Simmeringer sport (بفيننا النمسا ومسجلين بالدوري النمساوي حيث بلغ قوام العينة ١٥ لاعب ، عدد ١٣) لاعب للدراسة الأساسية و عدد (٢) لاعب من خارج العينة الأساسية ولذلك لإجراء الدراسة الاستطلاعية .

مجالات البحث :

المجال المكاني : تم التصوير بملعب نادي سيمرنج club Simmeringer sport (بفيننا النمسا وملعب كلية علوم الرياضة جامعة فيينا .

وسائل وأدوات جمع البيانات المستخدمة في البحث:

الادوات والاجهزه المستخدمة :

- ❖ كرّة قدم ذكية ماركة Adidas Smart Football Ball

مواصفاتها كالاتي :-

- المحيط: ٦٨.٦ سم / ٢٧ بوصة؛ القطر: ٢٢ سم / ٨.٦٦ بوصة؛ وزن مقاس ٥، كرّة عالية الجودة ملتصقة حراريًا مكونة من ٣٢ لوحة مع حزمه مستشعر مدمجة.
- تتضمن قاعدة شاحن كرّة الذكية.
- يستخرج المستشعر المدمج داخل الكرّة المتغيرات التالية (السرعة والدوران والضرب ومسار الطيران) وينقل بيانات الركلة على الفور إلى برنامج تشغيل iOS أو أعلى عبر البلوتوث ، حيث يظهر التطبيق المصاحب ملاحظات فورية حول القوة والدوران والضرب والمسار الطيران .



- ❖ جهاز تابلت يعمل بنظام تشغيل اندرويد لتشغيل تطبيق برنامج الكرّة الذكية .

- ❖ شريط قياس الطول .

أجهزة وبرامج التصوير والتحليل الحركي

- ❖ عدد (٣) كاميرات عالية السرعة ماركة Gopro hero 5 black 240 Hz USA
- ❖ برنامج التحليل الحركي كينوفيا موديل Kinovea 0.8.026
- ❖ برنامج التحليل الحركي فيديو تراكر موديل Tracker 5.0.6
- ❖ برنامج تطبيق الكرّة الذكية MI Coach

الدراسة الاستطلاعية :

تم إجراء الدراسة الاستطلاعية بملعب كلية علوم الرياضة جامعه فيينا علي عدد (٢) لاعب من خارج العينة الأساسية وكانت بهدف :

- التعرّف على الأبعاد المناسبة لموقع وضع الكاميرات بالنسبة لكلا من المرمي واللاعب وتحديد نقاط مفاصل أجزاء الجسم .
- كيفية تحديد المؤشرات التي يمكن الحصول عليها من برنامج التحليل كينوفيا وكيفية التعامل مع المحاوّلات التي تم تسجيلها .
- كيفية تحديد المخرجات التي يمكن الحصول عليها من تطبيق برنامج الكرّة الذكية وكيفية التعامل مع المحاوّلات التي تم تسجيلها .

واسفرت نتائج تلك الدراسة على:

- مدى ملائمة المكان للتصوير من حيث التوصيل للكهرباء والاضاءه والابعاد المناسبة لوضع الكاميرات في مجال التصوير
- تم تحديد أهم المؤشرات التي تستخرج من برنامج التحليل كينوفيا المناسبة لهدف البحث .
- تم تحديد المخرجات البيوميكانيكية للكرة الذكية من خلال تطبيق برنامج الكرة الذكية المناسبة لهدف البحث .

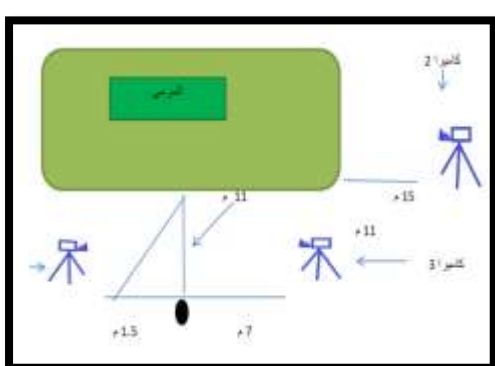
الدراسة الاساسية :

في ضوء ما أظهرته نتائج الدراسة الإستطلاعية وتحقيقاً لأهداف البحث فقد تعددت الخطوات الإجرائية للدراسة الأساسية على النحو التالي:

١- إعداد مكان التصوير

وشملت هذه المرحلة تثبيت ومعايير الكاميرات في مجال التصوير بحيث تم وضع الكاميرا الأولى على بعد ١١ متراً في مواجهة المرمي وعلى بعد ١٥٠ متراً من الجانب الأيسر لنقطة الجزاء واستخدمت لتحديد إحداثيات الكرة الذكية لحظة عبورها المرمي ، أما الكاميرا الثانية تم وضعها على بعد ١٥ متراً جانب المرمي وتم وضعها لتحديد لحظة دخول الكرة للمرمي وتم عمل التزامن بين الكاميرا الأولى والثانية من خلال تحديد لحظة اصطدام الكرة بالارض وتحديد لحظة عبورها المرمي خلال مرحلة التصوير ، أما الكامير الثالثة فوضعت على بعد ٧ متراً جانب الكرة لمتابعة الكرة خلال الانطلاق . (١١)

٢- إعداد اللاعبين للتصوير



وشملت هذه المرحلة احمد الاعبين لمدة ١٠ دقائق قبل التصوير بأداء عده تصويبات علي المرمي ، ثم وتم وضع العلامات الارشادية علي نقاط مفاصل اجزاء الجسم ، أثناء التصوير تم توضيح وشرح المطلوب للاعبين حيث قام كل لاعب بأداء ثلاث محاولات للتصوير علي كل ركن من اركان المرمي بعد تقسيم المرمي الي أربع أجزاء وكان الهدف من تقسيم المرمي هو معرفة مدى سرعة الرجل المصوبة وعلاقتها بدوران ومسار انطلاق الكرة يقود بها الي اي ركن من المرمي لحظه التصوير حيث يرمز section 1 الي الركن الایمن العلوي من المرمي و section 2 الي الركن الایسر العلوي section 3 الي الركن الایمن السفلي واخير section4 الركن الرابع وهو الركن الایسر السفلي من المرمي وتم قياس سرعة الكرة ودورانها لحظة التصوير وتم استخراج مخرجات الكرة الذكية من خلال تطبيق الكرة المشار اليه مسبقاً ، وتم إجراء التحليل علي اللحظات التالية (المرجحة الأمامية للرجل المصوبة ، أقصى سرعة لمس الكرة) حيث أنهم من أهم لحظتي لمرحلة التصوير تم تحديد وتحليل (٣) ثلات كادرات قبل ترك الرجل المصوبة الارض انتهاءً (٦) بست كادرات من لحظة لمس الكرة حتى التصوير .

المعالجات الاحصائية:

تم اجراء المعالجات الاحصائية باستخدام برنامج SPSS Version 25 وذلك عند مستوى ثقة (٩٥٪) يقابلها مستوى دلالة (احتمالية خطأ) ٠٠٥ وهي كالتالي :

- أقل قيمة.
- أكبر قيمة.
- المتوسط الحسابي .
- الانحراف المعياري .
- معامل الإنلواء .
- معامل التفاطح .
- معامل إرتباط بيرسون .
- تحليل التباين one - way ANOVA
- اختبار توكي H.S.D

عرض ومناقشة النتائج :

من خلال عرض أهداف وتساؤلات البحث ومن واقع النتائج التي تم التوصل إليها ووفقاً لخطوات التحليل الحركي الميكانيكي ، سوف يقوم الباحثان بعرض ومناقشة النتائج للإجابة على تساؤلات البحث التالية:

- ١- ما أهم المخرجات البيوميكانيكية للكرة الذكية ولسرعة الرجل المصوبة خلال لحظتي المرجة الأمامية وأقصى سرعة للمس الكروة) لحظة التصويب على المرمى ؟
- ٢- هل توجد علاقة ارتباط ذات دلالة إحصائية بين المخرجات البيوميكانيكية للكرة الذكية وسرعة الرجل المصوبة خلال لحظتي المرجة الأمامية وأقصى سرعة للمس الكروة) لحظة التصويب على المرمى ؟
- ٣- ما العلاقة الارتباطية بين المخرجات البيوميكانيكية للكرة الذكية خلال لحظتي المرجة الأمامية وأقصى سرعة للمس الكروة لحظة التصويب على أربع أركان المرمى ؟

جدول رقم (١)

التصويف الإحصائي للمؤشرات البيوميكانيكية لحظة (المرجة الأمامية للرجل المصوبة) لمجموعة البحث * ن = ٣٩

معامل التفاضل	معامل الالتواء	المعيارى الانحراف	المتوسط الحسابى	أكبر قيمة	أقل قيمة	وحدة القياس	الدلائل الإحصائية المؤشرات البيوميكانيكية
-0.74	-0.21	7.04	56.05	70.00	41.00	م/ث	سرعة الكروة الذكية
-0.10	-0.26	90.71	261.87	469.00	79.00	دوره	عدد الدورانات
-0.88	0.22	0.43	1.26	2.10	0.50	م/ث	متوسط سرعة نقطة الكتف
-0.29	-0.33	0.43	2.31	3.20	1.38	م/ث	متوسط سرعة نقطة الحوض
0.40	0.35	0.84	5.35	7.74	3.75	م/ث	متوسط سرعة نقطة الركبة
-1.23	0.13	1.15	9.48	11.65	7.63	م/ث	متوسط سرعة نقطة الكعب
-0.57	0.19	1.38	11.11	14.33	8.69	م/ث	متوسط سرعة نقطة صبع القدم
-0.86	0.21	4.87	194.05	204.70	185.62	م/ث	متوسطاً لسرعة الزاوية للحوض
-0.82	-0.24	15.15	110.05	134.84	80.80	م/ث	متوسط السرعة الزاوية للركبة
-1.37	0.01	10.43	16.33	33.57	0.68	درجة سنتينيه	المدى الحركي لزاوية الحوض
-0.57	0.29	14.59	60.03	91.06	33.58	درجة سنتينيه	المدى الحركي لزاوية الركبة
-0.43	0.19	0.01	0.09	0.11	0.07	ث	زمن مرحلة المرجة الأمامية
-0.16	0.17	2.94	21.05	27.73	15.12	م/ث	السرعة الأفقية للكروة لحظة الانطلاق
0.55	0.26	1.00	5.26	7.43	2.93	م/ث	السرعة الرئيسية للكروة لحظة الانطلاق
-0.03	0.26	2.91	21.73	28.71	15.94	م/ث	محصلة السرعة لحظة الانطلاق
-0.12	-0.12	2.78	21.27	26.72	15.11	م/ث	متوسط السرعة الأفقية للكروة
0.37	0.20	1.02	5.32	7.57	3.14	م/ث	متوسط السرعة الرئيسية للكروة
0.03	-0.01	2.73	21.96	27.72	15.99	م/ث	محصلة متوسط السرعة
0.08	-0.01	2.82	22.54	28.77	16.36	م/ث	السرعة القصوى للكروة
-0.19	-0.02	3.06	14.54	20.97	8.01	درجة سنتينيه	زاوية انطلاق الكروة

*حيث ن = ٣٩ فهى حاصل عدد العينة (١٣) لاعب في عدد ثلث محاولات لكل لاعب

يتضح من الجدول رقم (١) والخاص بالتصويف الإحصائي لعينة البحث في المؤشرات البيوميكانيكية لحظة المرجة الأمامية للرجل المصوبة أن البيانات الخاصة بعينة البحث الكلية معتدلة وغير مشتتة وتتنسم بالتوزيع الطبيعي للعينة ، حيث تتراوح قيم معامل الالتواء فيها ما بين (٠.٣٥ - ٠.٤٢) وهذه القيم تقترب من الصفر ، مما يؤكّد اعتدالية البيانات الخاصة بعينة البحث.

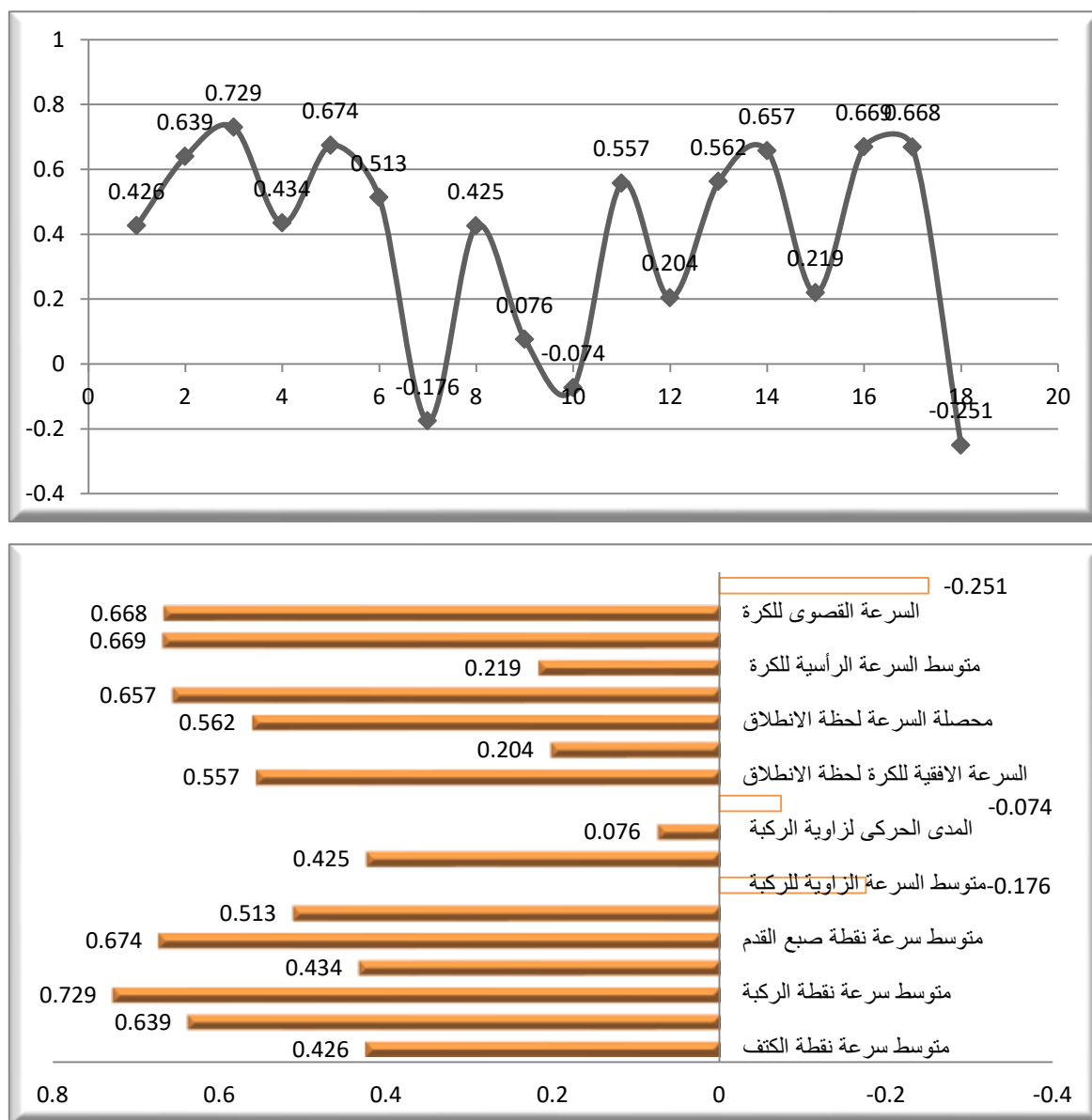
جدول رقم (٤)

العلاقة بين المؤشرات البيوميكانيكية وكل من المخرجات البيوميكانيكية وعدد الدورات لحظة (المرجحة الأمامية للرجل الراكلة) لعينة البحث = ٣٩

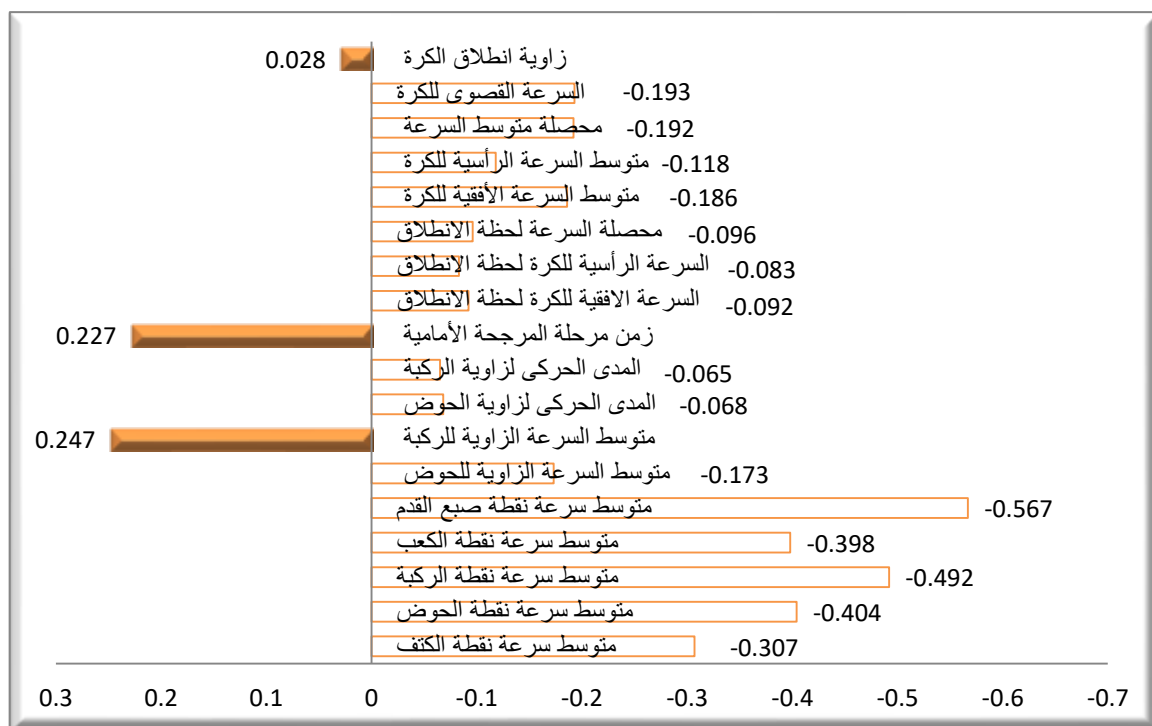
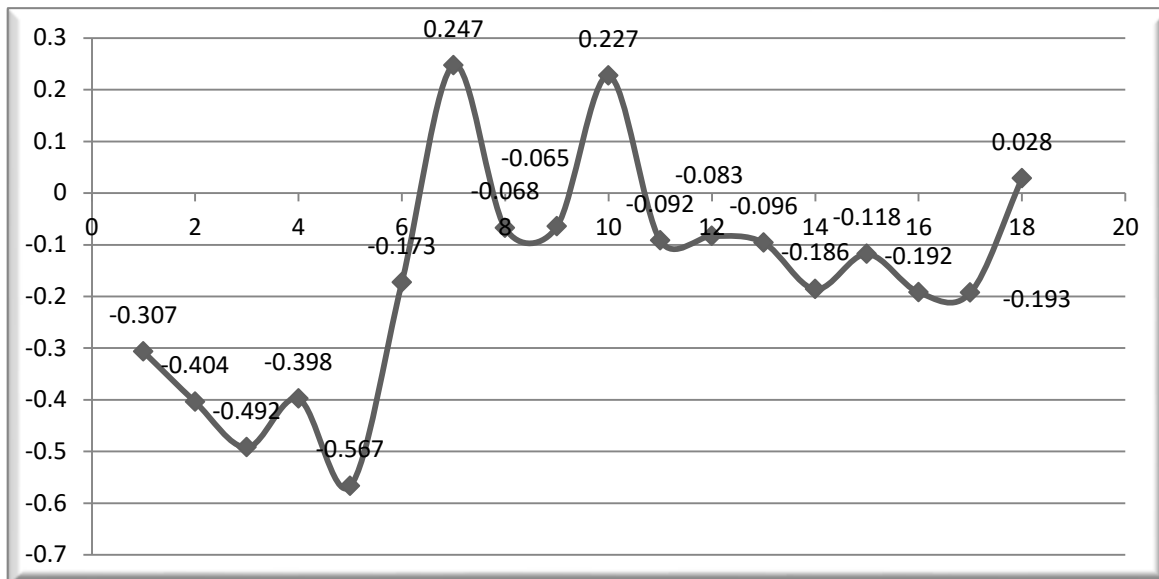
*معنوي عند مستوى ٥٠٠٠ *معنوي عند مستوى ١٠٠

يتضح من الجدول رقم (٢) الخاص بالعلاقة بين مخرجات الكرة الذكية والمؤشرات البيوميكانيكية في سرعة الكرة الذكية وعدد الدورانات لحظة (المرجحة الأمامية للرجل المصوبة) لعينة البحث وجود علاقة ذات دلالة إحصائية بين معظم المؤشرات قيد البحث وكل من سرعة الكرة الذكية وعدد الدورانات لحظة (المرجحة الأمامية للرجل المصوبة) لعينة البحث حيث تراوحت قيمة (ر) المحسوبة ما بين (٠.٣٩٨ ، ٠.٧٢٩) وهذه القيم أكبر من قيمة (ر) الجدولية عند مستوى ٠.٥ وعند مستوى ٠.١ حيث كانت على النحو التالي:

- يوجد علاقة طردية بين سرعة الكرة الذكية وكل من (متوسط سرعة نقطة الكتف- متوسط سرعة نقطة الحوض- متوسط سرعة نقطة الركبة- متوسط سرعة نقطة الكعب- متوسط سرعة نقطة صبع القدم- متوسط السرعة الزاوية للحوض- المدى الحركي لزاوية الحوض- السرعة الأفقية للكرة لحظة الانطلاق- محصلة السرعة لحظة الانطلاق- متوسط السرعة الأفقية للكرة- محصلة متوسط السرعة- السرعة القصوى للكرة)
- يوجد علاقة عكسية بين عدد الدورانات وكل من (متوسط سرعة نقطة الحوض- متوسط سرعة نقطة الركبة- متوسط سرعة نقطة الكعب- متوسط سرعة نقطة صبع القدم)



الشكل البياني رقم (١) الخاص بالعلاقة بين المؤشرات البيوميكانيكية وسرعة الكرة الذكية لحظة (المرجحة الأمامية للرجل الراكلة) لعينة البحث



الشكل البياني رقم (٢) الخاص بالعلاقة بين المؤشرات البيوميكانيكية وعدد الدورانات لحظة المرجة الأمامية للرجل الراكلة (عينة البحث)

جدول رقم (٣)

التصنيف الإحصائي للمخرجات البيوميكانيكية الكرة الذكية والمؤشرات البيوميكانيكية لحظة أقصى سرعة للمس الكرة
لمجموعة البحث ن = ٣٩

معامل التفاضل	معامل الالتواز	المعارف الإنحراف المعياري	المتوسط الحسابي	أكبر قيمة	أقل قيمة	وحدة القياس	الدلائل الإحصائية المؤشرات
-0.74	-0.21	7.04	56.05	70.00	41.00	م/ث	سرعة الكرة الذكية
-0.10	-0.26	90.71	261.87	469.00	79.00	دورة	عدد الدورانات
-0.33	0.40	0.48	2.36	3.44	1.58	م/ث	متوسط سرعة نقطة الكتف
-0.66	-0.15	0.56	3.27	4.35	2.19	م/ث	متوسط سرعة نقطة الحوض
-0.31	0.19	1.05	6.57	8.89	4.49	م/ث	متوسط سرعة نقطة الركبة
-0.02	-0.20	1.25	13.81	16.70	11.20	م/ث	متوسط سرعة نقطة الكعب
1.47	0.91	1.95	14.85	20.43	11.51	م/ث	متوسط سرعة نقطة صبع القدم
-0.16	0.17	2.94	21.05	27.73	15.12	م/ث	السرعة الأفقية للكرة
0.55	0.26	1.00	5.26	7.43	2.93	م/ث	السرعة الرأسية للكرة
-0.03	0.26	2.91	21.73	28.71	15.94	م/ث	محصلة السرعة
-0.12	-0.12	2.78	21.27	26.72	15.11	م/ث	متوسط السرعة الأفقية للكرة
0.37	0.20	1.02	5.32	7.57	3.14	م/ث	متوسط السرعة الرأسية للكرة
0.03	-0.01	2.73	21.96	27.72	15.99	م/ث	محصلة متوسط السرعة
0.08	-0.01	2.82	22.54	28.77	16.36	م/ث	السرعة القصوى للكرة
-0.19	-0.02	3.06	14.54	20.97	8.01	درجة ستينية	زاوية انطلاق الكرة

يتضح من الجدول رقم (٣) والخاص بالتصنيف الإحصائي لعينة البحث للمخرجات البيوميكانيكية للكرة الذكية والمؤشرات البيوميكانيكية لحظة (أقصى سرعة للمس الكرة) لمجموعة البحث أن البيانات الخاصة بعينة البحث الكلية معتدلة وغير مشتتة وتتسم بالتوزيع الطبيعي للعينة ، حيث تتراوح قيم معامل الالتواز فيها ما بين (-٠.٩١ إلى ٠.٤٢) وهذه القيم تقترب من الصفر ، مما يؤكّد اعتدالية البيانات الخاصة بعينة البحث.

جدول رقم (٤)

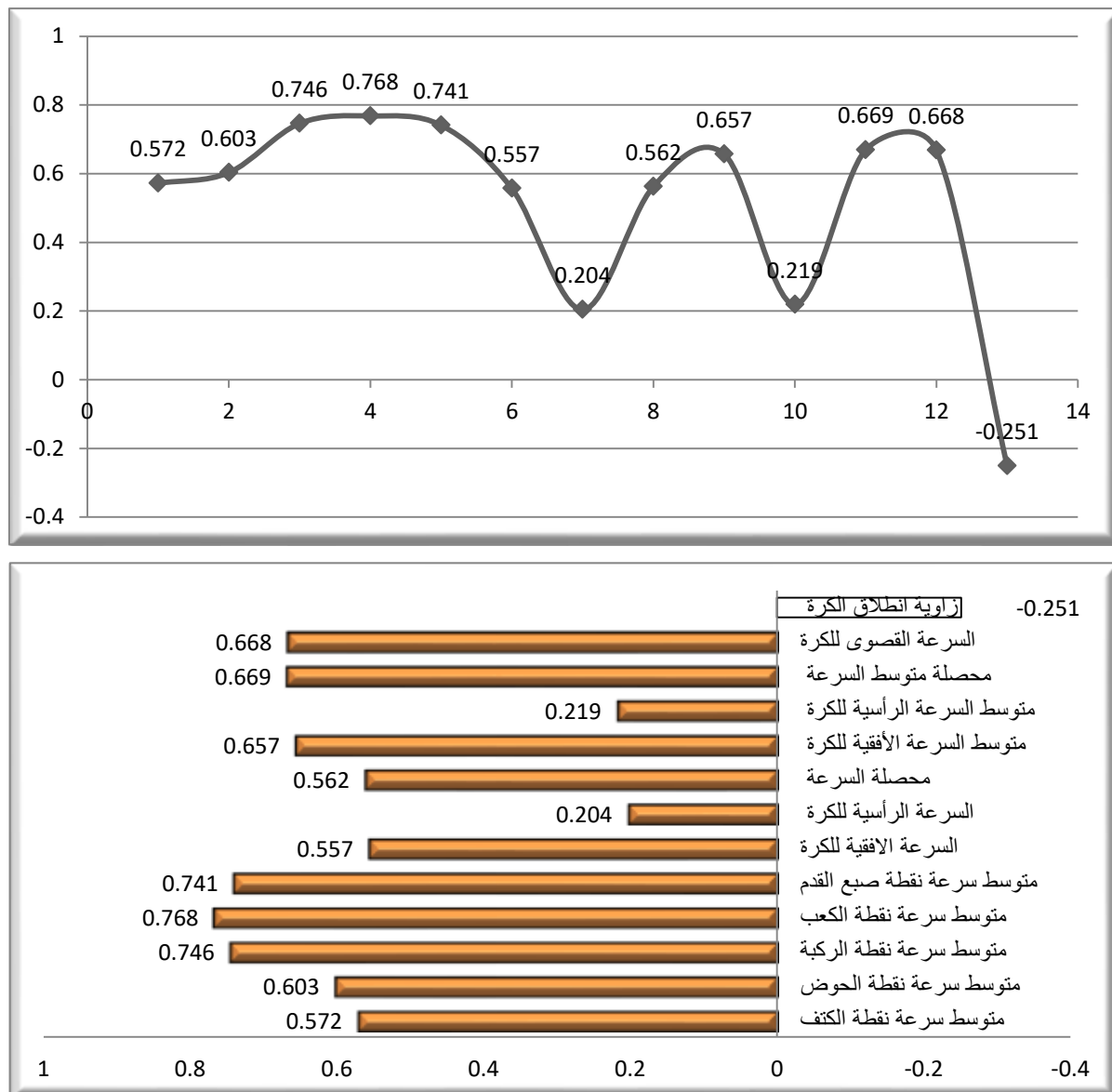
العلاقة بين مخرجات الكرة الذكية البيوميكانيكية لكل من سرعة الكرة الذكية وعدد الدورانات والمؤشرات البيوميكانيكية لحظة
 أقصى سرعة للمس الكرة (لعينة البحث ن=٣٩)

عدد الدورانات	سرعة الكرة الذكية	زاوية انطلاق الكرة	السرعة القصوى للكرة	محصلة السرعة	متحصله متوسط السرعة الرأسية للكرة	متوسط السرعة الأفقية للكرة	محصلة السرعة الرأسية للكرة	السرعة الأفقية للكرة	متوسط سرعة صبع القدم	متوسط سرعة نقطة الكعب	متوسط سرعة نقطة الركبة	متوسط سرعة نقطة الكتف	متوسط سرعة نقطة الحوض	متوسط سرعة نقطة الركبة	متوسط سرعة نقطة الكعب	متوسط سرعة نقطة الكتف	المؤشرات البيوميكانيكية
																	متوسط سرعة نقطة الكتف
																	متوسط سرعة نقطة الحوض
																	متوسط سرعة نقطة الركبة
																	متوسط سرعة نقطة الكعب
																	متوسط سرعة نقطة صبع القدم
										1							السرعة الأفقية للكرة
											1						السرعة الرأسية للكرة
											1						محصلة السرعة
												1					متوسط السرعة الأفقية للكرة
												1					متوسط السرعة الرأسية للكرة
												1					متحصله متوسط السرعة
													1				زاوية انطلاق الكرة
														1			سرعة الكرة الذكية
1	-0.251	0.668**	0.669**	0.219	0.657**	0.562**	0.204	0.557**	0.741**	0.768**	0.746**	0.603**	0.572**				عدد الدورانات
1	0.525**	0.028	-0.193	-0.192	-0.118	-0.186	-0.096	-0.083	-0.092	0.588**	0.485**	0.522**	-0.378*	-0.251			

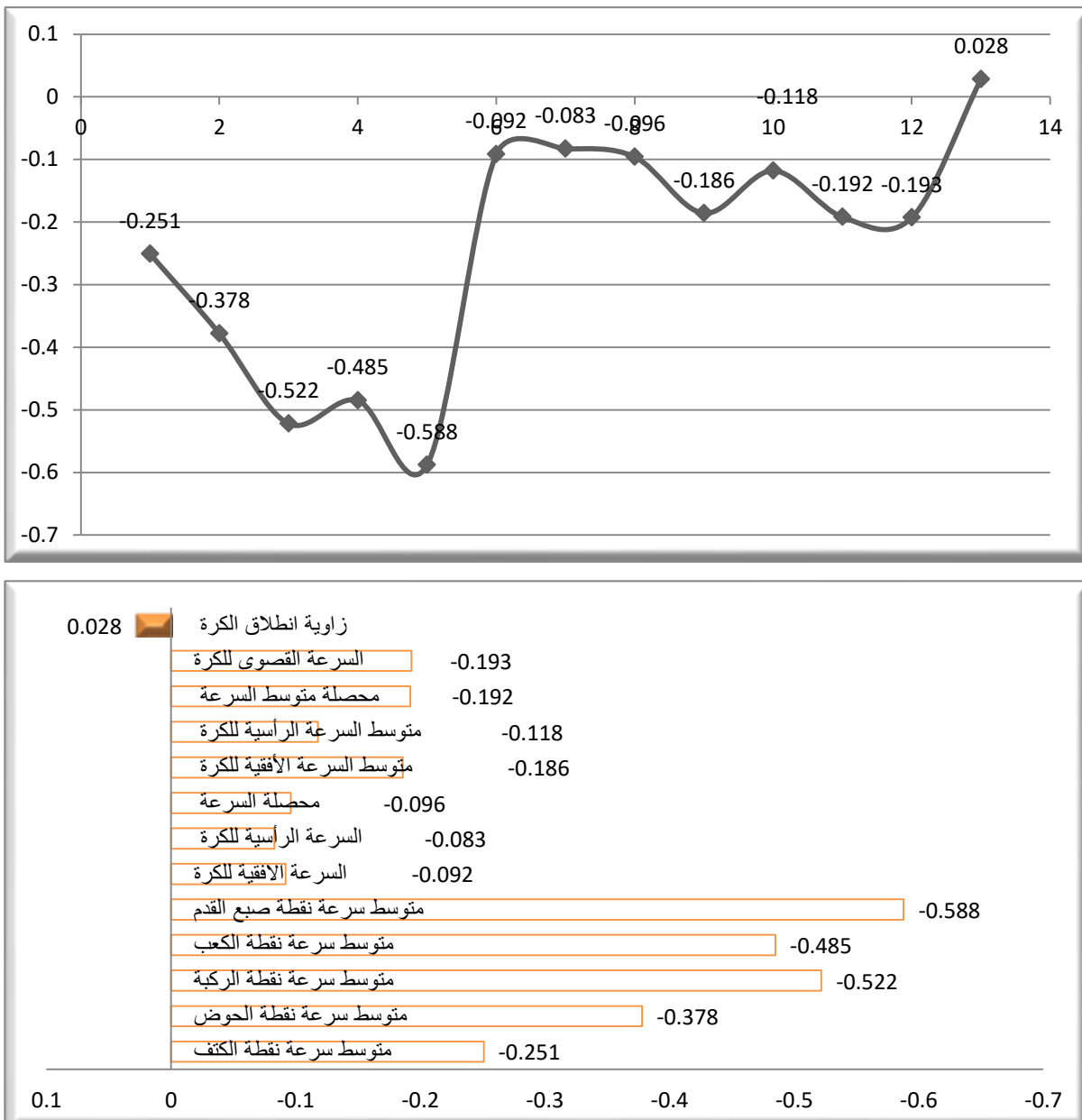
*معنوى عند مستوى ٠.٠٥ . ** معنوى عند مستوى ٠.٠١

يتضح من الجدول رقم (٤) الخاص بالعلاقة مخرجات الكرة الذكية البيومكانيكية لكل من سرعة الكرة الذكية وعدد الدورانات والمؤشرات البيوميكانيكية للحظة (أقصى سرعة لمس الكرة) لعينة البحث وجود علاقة ذات دلالة إحصائية بين معظم المؤشرات قيد البحث وكل من سرعة الكرة الذكية وعدد الدورانات لمرحلة (أقصى سرعة) لعينة البحث حيث تراوحت قيمة (ر) المحسوبة ما بين (٠.٣٧٨ ، ٠.٧٦٨) وهذه القيم أكبر من قيمة (ر) الجدولية عند مستوى ٠.٠٥ وعند مستوى ٠.٠١ حيث كانت على النحو التالي:

- يوجد علاقة طردية بين سرعة الكرة الذكية وكل من (متوسط سرعة نقطة الكتف- متوسط سرعة نقطة الحوض- متوسط سرعة نقطة الركبة- متوسط سرعة نقطة الكعب- متوسط سرعة نقطة إصبع القدم- السرعة الأفقية للكرة - محصلة السرعة- متوسط السرعة الأفقية للكرة- محصلة متوسط السرعة- السرعة القصوى للكرة)
- يوجد علاقة عكسية بين عدد الدورانات وكل من (متوسط سرعة نقطة الحوض- متوسط سرعة نقطة الركبة- متوسط سرعة نقطة الكعب- متوسط سرعة نقطة صبع القدم)



الشكل البياني رقم (٣) الخاص بالعلاقة بين مخرجات الكرة الذكية البيومكانيكية لسرعة الكرة الذكية والمؤشرات البيوميكانيكية للحظة (أقصى سرعة لمس الكرة) لعينة البحث



الشكل البيانى رقم (٤) الخاص بالعلاقة بين مخرجات الكرة الذكية البيومكانيكية لعدد الدورانات
والمؤشرات البيوميكانيكية للحظة (أقصى سرعة للمس الكرة) لعينة البحث

الدلالات الإحصائية الخاصة بسرعة الكرة الذكية ودورانها لحظة المرجة الإمامية للرجل المصوبة
خلال التصويب في اربع اركان المرمي *ن = ١٥٦

مستوى الدلالة	قيمة (ف)	أكبر قيمة	أقل قيمة	الأحرف المعياري	المتوسط	العينة	المجموعات	المؤشرات
0.42	0.94	70.00	41.00	7.04	56.05	39	section 1	سرعة الكرة الذكية
		67.00	41.00	6.14	53.59	39	section 2	
		68.00	41.00	6.53	54.28	39	section 3	
		71.00	39.00	7.00	54.64	39	section 4	
		71.00	39.00	6.68	54.64	156	المجموع	
0.45	0.88	469.00	79.00	90.71	261.87	39	section 1	عدد الدورانات
		520.00	71.00	92.80	288.08	39	section 2	
		462.00	69.00	106.09	275.46	39	section 3	
		500.00	55.00	104.59	254.62	39	section 4	
		520.00	55.00	98.67	270.01	156	المجموع	
0.00	*4.56	2.10	0.50	0.43	1.26	39	section 1	متوسط سرعة نقطة الكتف
		2.26	0.48	0.47	1.13	39	section 2	
		2.91	0.60	0.54	1.30	39	section 3	
		2.31	0.51	0.46	1.52	39	section 4	
		2.91	0.48	0.49	1.31	156	المجموع	
0.00	*4.81	3.20	1.38	0.43	2.31	39	section 1	متوسط سرعة نقطة الحوض
		3.12	1.29	0.45	2.17	39	section 2	
		3.51	1.15	0.56	2.26	39	section 3	
		3.56	1.04	0.58	2.59	39	section 4	
		3.56	1.04	0.53	2.34	156	المجموع	
0.38	1.03	7.74	3.75	0.84	5.35	39	section 1	متوسط سرعة نقطة الركبة
		7.01	3.80	0.77	5.60	39	section 2	
		7.61	3.86	0.76	5.63	39	section 3	
		7.40	3.88	0.84	5.58	39	section 4	
		7.74	3.75	0.80	5.54	156	المجموع	
0.00	*53.67	11.65	7.63	1.15	9.48	39	section 1	متوسط سرعة نقطة الكعب
		14.45	9.04	1.15	11.94	39	section 2	
		15.76	8.84	1.36	12.50	39	section 3	
		13.56	7.80	1.22	10.16	39	section 4	
		15.76	7.63	1.74	11.02	156	المجموع	
0.00	*87.76	14.33	8.69	1.38	11.11	39	section 1	متوسط سرعة نقطة صبع القدم
		18.59	12.16	1.41	14.93	39	section 2	
		21.28	10.70	1.69	15.20	39	section 3	
		15.11	8.36	1.44	11.32	39	section 4	
		21.28	8.36	2.43	13.14	156	المجموع	
0.10	2.13	204.70	185.62	4.87	194.05	39	section 1	متوسط السرعة الزاوية للحوض
		204.85	185.79	4.14	193.55	39	section 2	
		225.06	188.47	8.82	196.80	39	section 3	
		214.38	184.97	6.81	195.72	39	section 4	
		225.06	184.97	6.49	195.03	156	المجموع	
0.00	*12.82	134.84	80.80	15.15	110.05	39	section 1	متوسط السرعة الزاوية للركبة
		121.14	83.66	11.03	100.14	39	section 2	
		128.31	78.13	12.09	100.80	39	section 3	
		144.41	87.91	15.79	116.45	39	section 4	
		144.41	78.13	15.15	106.86	156	المجموع	
1.00	0.02	33.57	0.68	10.43	16.33	39	section 1	المدى الحركي لزاوية الحوض
		31.53	0.17	9.49	15.92	39	section 2	
		31.85	0.24	9.10	15.77	39	section 3	
		38.38	0.07	10.98	15.88	39	section 4	
		38.38	0.07	9.93	15.97	156	المجموع	
0.00	*7.96	91.06	33.58	14.59	60.03	39	section 1	المدى الحركي لزاوية الركبة
		80.11	26.50	12.79	51.84	39	section 2	

مستوى الدلالة	قيمة (ف)	أكبر قيمة	أقل قيمة	الاتحراف المعياري	المتوسط	العينة	المجموعات	المؤشرات
		63.36	26.41	10.24	46.50	39	section 3	
		77.53	16.55	11.54	51.56	39	section 4	
		91.06	16.55	13.20	52.48	156	المجموع	
0.00	*35.38	0.11	0.07	0.01	0.09	39	section 1	زمن مرحلة المرحجة الامامية
		0.10	0.04	0.01	0.07	39	section 2	
		0.09	0.04	0.01	0.06	39	section 3	
		0.12	0.06	0.01	0.08	39	section 4	
		0.12	0.04	0.02	0.08	156	المجموع	
0.55	0.70	27.73	15.12	2.94	21.05	39	section 1	السرعة الافقية للكرة لحظة الانطلاق
		26.55	14.19	3.00	20.46	39	section 2	
		27.10	16.55	2.70	20.81	39	section 3	
		32.44	17.08	3.12	21.39	39	section 4	
		32.44	14.19	2.93	20.93	156	المجموع	
0.00	*54.44	7.43	2.93	1.00	5.26	39	section 1	السرعة الرأسية للكرة لحظة الانطلاق
		8.58	4.04	1.06	6.15	39	section 2	
		7.41	2.14	1.17	4.01	39	section 3	
		6.00	0.53	1.21	3.18	39	section 4	
		8.58	0.53	1.59	4.65	156	المجموع	
0.86	0.25	28.71	15.94	2.91	21.73	39	section 1	محصلة السرعة لحظة الانطلاق
		27.90	14.76	3.02	21.38	39	section 2	
		27.57	16.99	2.72	21.22	39	section 3	
		32.60	17.40	3.11	21.66	39	section 4	
		32.60	14.76	2.92	21.50	156	المجموع	
0.37	1.07	26.72	15.11	2.78	21.27	39	section 1	متوسط السرعة الأفقية للكرة
		26.39	14.63	2.82	20.43	39	section 2	
		27.71	17.37	2.50	20.88	39	section 3	
		31.96	16.76	2.92	21.46	39	section 4	
		31.96	14.63	2.76	21.01	156	المجموع	
0.00	*63.57	7.57	3.14	1.02	5.32	39	section 1	متوسط السرعة الرأسية للكرة
		8.59	4.10	0.97	6.23	39	section 2	
		6.99	2.20	1.12	3.98	39	section 3	
		5.69	0.78	1.17	3.16	39	section 4	
		8.59	0.78	1.59	4.67	156	المجموع	
0.68	0.50	27.72	15.99	2.73	21.96	39	section 1	محصلة متوسط السرعة
		27.75	15.26	2.82	21.38	39	section 2	
		28.18	17.80	2.50	21.29	39	section 3	
		32.12	17.26	2.90	21.72	39	section 4	
		32.12	15.26	2.73	21.59	156	المجموع	
0.69	0.47	28.77	16.36	2.82	22.54	39	section 1	السرعة القصوى للكرة
		28.40	15.62	2.90	21.94	39	section 2	
		28.84	18.20	2.57	21.88	39	section 3	
		32.98	17.76	3.00	22.33	39	section 4	
		32.98	15.62	2.81	22.17	156	المجموع	
0.00	*56.13	20.97	8.01	3.06	14.54	39	section 1	زاوية انطلاق الكرة
		23.77	10.29	2.98	17.35	39	section 2	
		18.24	6.08	3.19	11.15	39	section 3	
		16.65	1.28	3.47	8.63	39	section 4	
		23.77	1.28	4.57	12.92	156	المجموع	

*ن = ١٥٦ وهي عدد محاولات العينة (٣٩ محاولة) في مؤشرات كل ركن من اركان المرمي

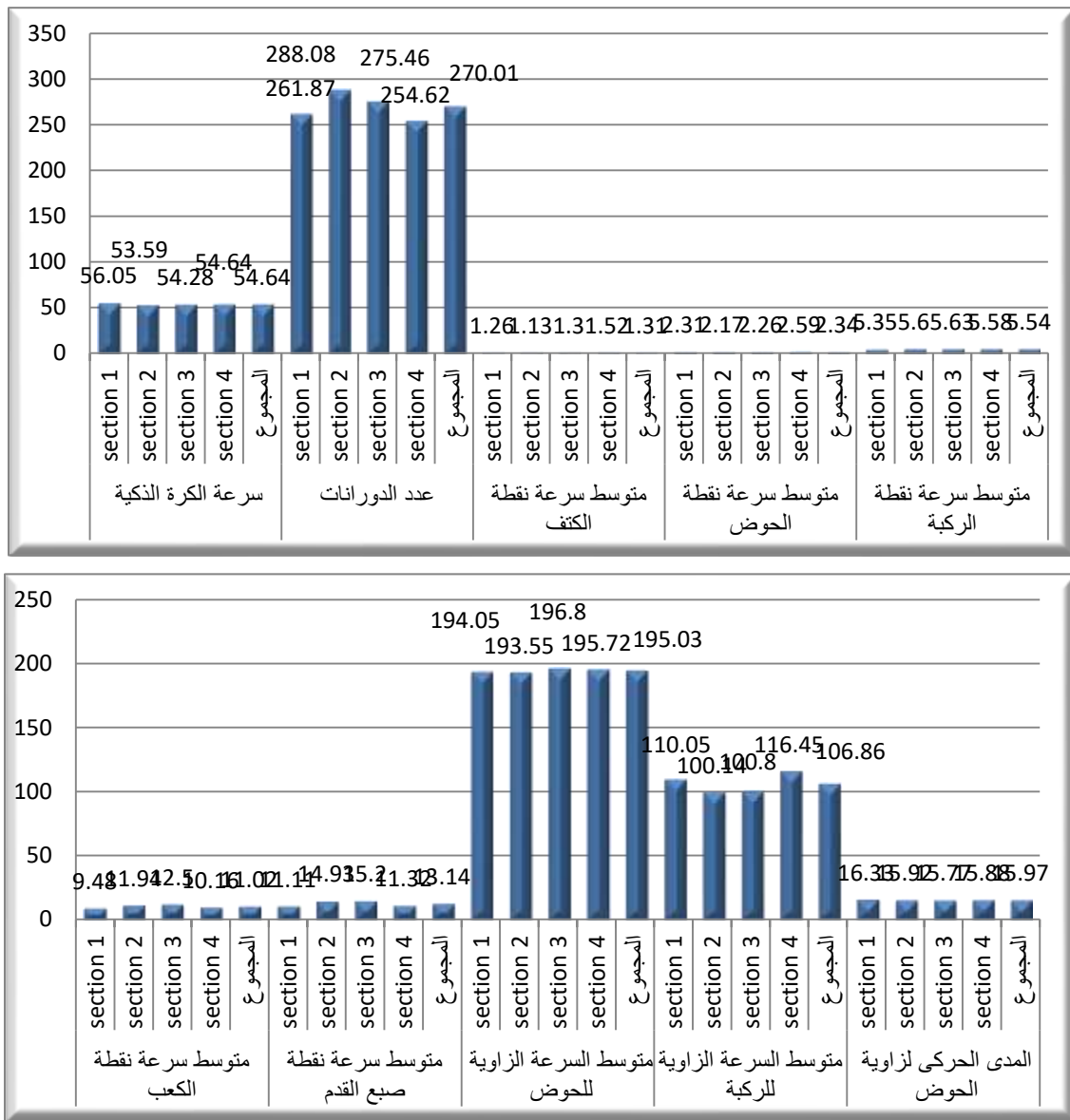
* قيمة (ف) الجدولية معنوي عند مستوى ٠٠٥

ينتضح من جدول (٥) الخاص بالدلائل الإحصائية الخاصة بمخرجات البيوميكانيكية لكل من سرعة الكرة الذكية ودورانها

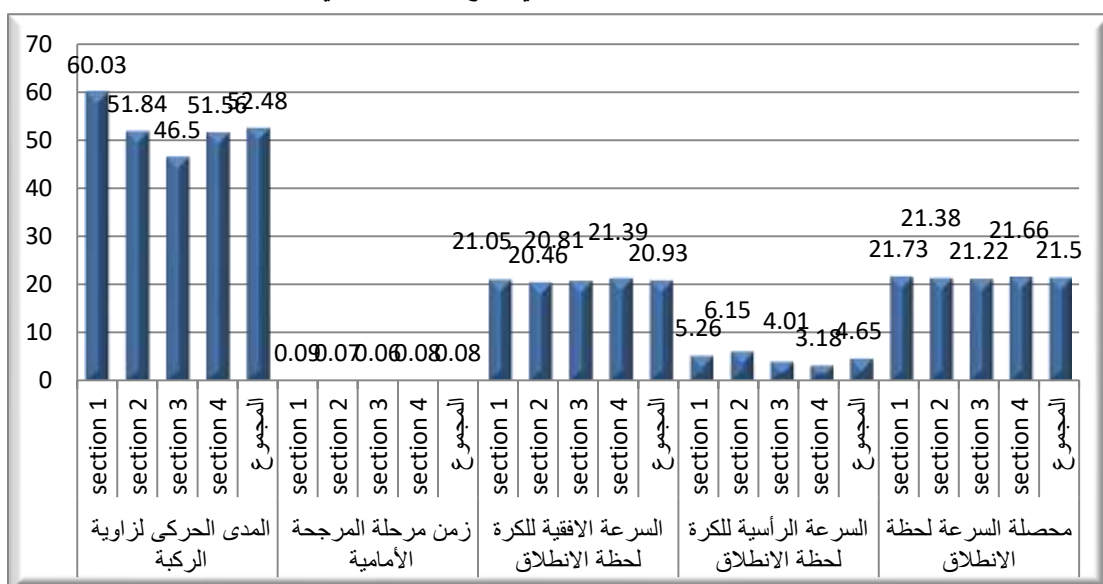
لحظة المرحجة الامامية للرجل المصوبة خلال التصويب على اركان المرمي قيد البحث وجود فروق ذات دلالة احصائية عند مستوى ٠٠٥

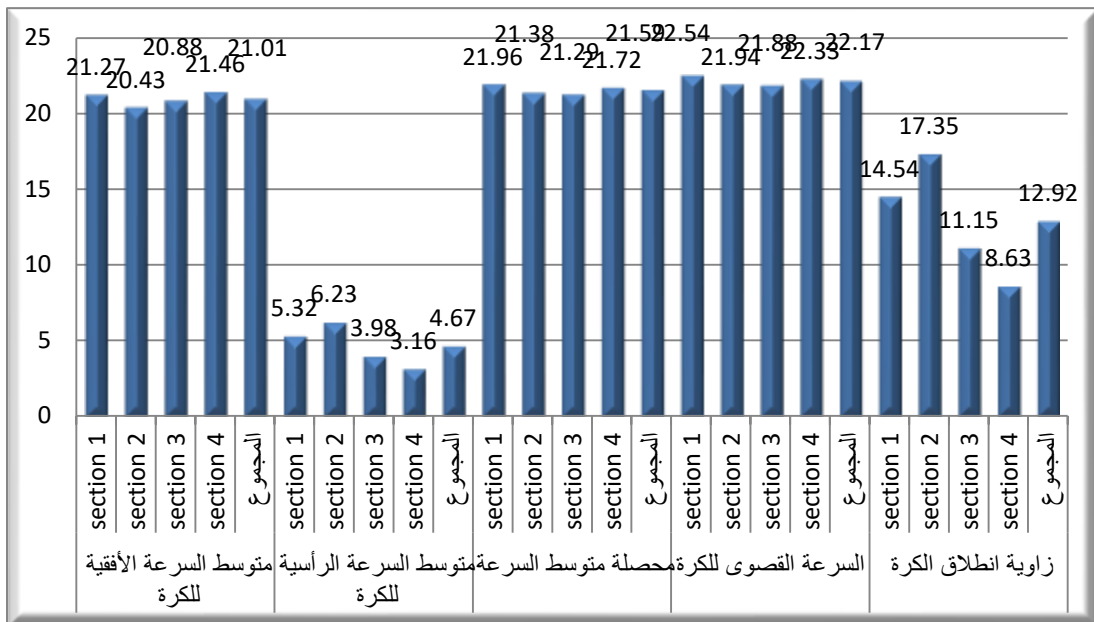
في معظم المؤشرات حيث كانت قيمة ف المحسوبة أكبر من قيمة ف الجدولية عند مستوى ٠٠٥ وقيمة مستوى المعنوية أقل

من ٠٠٥



الشكل البياني رقم (٥) الخاص بالمتosteات الحسابية للمؤشرات البيوميكانيكية قيد البحث لحظة المرجة الأمامية للرجل المصوّبة خلال التصويب في اربع اركان المرمي





تابع الشكل البيانى رقم (٦) الخاص بالمتosteات الحسابية للمؤشرات البيوميكانيكية قيد البحث لحظة المرجة الأمامية للرجل المصوبة خلال التصويب في اربع اركان المرمى

جدول (٦)
اختبار توكي H.S.D عند مستوى .٥٠٠ لتحديد معنوية واتجاه الفروق في المتغيرات المعنوية المستخلصة من تحليل التباين في اتجاه واحد ن = ١٥٦

معنوية الفروق بين المتوسطات						المتوسط الحسابي	المجموعات	المؤشرات
section 4		section 3		section 2				
٠.٠٧٦	٠.٢٦١	٠.٩٨٥	٠.٠٣٨	٠.٦٢٦	٠.١٢٩	1.26	section 1	متوسط سرعة نقطة الكتف
٠.٠٠٢	*٠.٣٩١	٠.٤٠٧	٠.١٦٧			1.13	section 2	
٠.١٦٦	٠.٢٢٣					1.30	section 3	
						1.52	section 4	
٠.٠٨٢	٠.٢٧٥	٠.٩٧٤	٠.٠٤٩	٠.٦٢٥	٠.١٣٨	2.31	section 1	متوسط سرعة نقطة الحوض
٠.٠٠٢	*٠.٤١٣	٠.٨٦٥	٠.٠٨٩			2.17	section 2	
٠.٠٢٧	*٠.٣٢٤					2.26	section 3	
						2.59	section 4	
٠.٠٧٢	٠.٦٧٩	٠.٠٠٠	*٣.٠٢٦	٠.٠٠٠	*٢.٤٦٠	9.48	section 1	متوسط سرعة نقطة الكعب
٠.٠٠٠	*١.٧٨١	٠.١٧٧	٠.٥٦٥			11.94	section 2	
٠.٠٠٠	*٢.٣٤٧					12.50	section 3	
						10.16	section 4	
٠.٩٢٣	٠.٢١٠	٠.٠٠٠	*٤.٠٩٤	٠.٠٠٠	*٣.٨٢١	11.11	section 1	متوسط سرعة نقطة صبع القدم
٠.٠٠٠	*٣.٦١٠	٠.٨٤٨	٠.٢٧٣			14.93	section 2	
٠.٠٠٠	*٣.٨٨٤					15.20	section 3	
						11.32	section 4	
٠.١٦٩	٦.٣٩١	٠.٠١٧	*٩.٢٥٥	٠.٠٠٩	*٩.٩١٩	110.05	section 1	متوسط السرعة الزاوية للركبة
٠.٠٠٠	*١٦.٣١٠	٠.٩٩٦	٠.٦٦٤			100.14	section 2	
٠.٠٠٠	*١٥.٦٤٦					100.80	section 3	
						116.45	section 4	
٠.٠١٦	*٨.٤٦٧	٠.٠٠٠	*١٣.٥٣١	٠.٠٢١	*٨.١٨٢	60.03	section 1	المدى الحركي لزاوية الركبة
١.٠٠٠	٠.٢٨٤	٠.٢٣٠	٥.٣٤٨			51.84	section 2	
٠.٢٧٥	٥.٠٦٣					46.50	section 3	
						51.56	section 4	
٠.٤٥٠	٠.٠٠٣	٠.٠٠٠	*٠.٠٢٤	٠.٠٠٠	*٠.٠١٦	0.09	section 1	زمن مرحلة المرحة الأمامية
٠.٠٠٠	*٠.٠١٢	٠.٠٣٢	*٠.٠٠٧			0.07	section 2	
٠.٠٠٠	*٠.٠٢٠					0.06	section 3	
						0.08	section 4	
٠.٠٠٠	*٢.٠٨٨	٠.٠٠٠	*١.٢٥٥	٠.٠٠٣	*٠.٨٨٢	5.26	section 1	السرعة الرئيسية لكره لحظة الانطلاق
٠.٠٠٠	*٢.٩٧٠	٠.٠٠٠	*٢.١٣٧			6.15	section 2	
٠.٠٠٧	*٠.٨٣٢					4.01	section 3	
						3.18	section 4	
٠.٠٠٠	*٢.١٦٤	٠.٠٠٠	*١.٣٣٦	٠.٠٠٢	*٠.٩٠٥	5.32	section 1	متوسط السرعة الرئيسية لكره
٠.٠٠٠	*٣.٠٦٩	٠.٠٠٠	*٢.٢٤٢			6.23	section 2	
٠.٠٠٥	*٠.٨٢٧					3.98	section 3	
						3.16	section 4	
٠.٠٠٠	*٥.٩٠١	٠.٠٠٠	*٣.٣٨١	٠.٠٠١	*٢.٨١٠	14.54	section 1	زاوية انطلاق الكرة
٠.٠٠٠	*٨.٧١١	٠.٠٠٠	*٦.١٩١			17.35	section 2	
٠.٠٠٣	*٢.٥٢٠					11.15	section 3	
						8.63	section 4	

*معنى عند مستوى دلالة أقل من .٥٠٠

المعنوية المستخلصة من تحليل التباين في اتجاه واحد أنه توجد فروق بين المجموعات حيث كانت على النحو التالي: يتضح من جدول (٦) الخاص بوضح اختبار توكي H.S.D عند مستوى .٥٠٠ لتحديد معنوية واتجاه الفروق في المؤشرات.

• متوسط سرعة نقطة الكتف

- هناك فروق ذات دلالة إحصائية بين section 4 و section 2

• متوسط سرعة نقطة الحوض

- هناك فروق ذات دلالة إحصائية بين section 2 و section 4 ، كما يوجد فروق ذات دلالة إحصائية بين section 4 و section 3

• **متوسط سرعة نقطة الكعب**

- هناك فروق ذات دلالة إحصائية بين section 1 وكل من (section 2 -section 3) ، كما يوجد فروق ذات دلالة إحصائية بين section2 و section4 ، كما يوجد فروق ذات دلالة إحصائية بين section3 و section 4 .

• **متوسط سرعة نقطة صبع القدم**

- هناك فروق ذات دلالة إحصائية بين section 1 وكل من (section 2 -section 3) ، كما يوجد فروق ذات دلالة إحصائية بين section2 و section4 ، كما يوجد فروق ذات دلالة إحصائية بين section3 و section 4 .

• **متوسط السرعة الزاوية للركبة**

- هناك فروق ذات دلالة إحصائية بين section 1 وكل من (section 2 -section 3) ، كما يوجد فروق ذات دلالة إحصائية بين section2 و section4 ، كما يوجد فروق ذات دلالة إحصائية بين section3 و section 4 .

• **المدى الحركي لزاوية الركبة**

- هناك فروق ذات دلالة إحصائية بين section 1 وكل من (section 4-section 3 -section 2) ، كما يوجد فروق

• **زمن مرحلة المرجة الأمامية**

- هناك فروق ذات دلالة إحصائية بين section 1 وكل من (section 2 -section 3) ، كما يوجد فروق ذات دلالة إحصائية بين section2 وكل من (section 3 -section 4) ، كما يوجد فروق ذات دلالة إحصائية بين section3 و section 4 .

• **السرعة الرئيسية للكرة لحظة الانطلاق**

- هناك فروق ذات دلالة إحصائية بين section 1 وكل من (section 2 -section 3) ، كما يوجد فروق ذات دلالة إحصائية بين section2 وكل من (section 3 -section 4) ، كما يوجد فروق ذات دلالة إحصائية بين section3 و section 4 .

• **متوسط السرعة الرئيسية للكرة**

- هناك فروق ذات دلالة إحصائية بين section 1 وكل من (section 2 -section 3) ، كما يوجد فروق ذات دلالة إحصائية بين section2 وكل من (section 3 -section 4) ، كما يوجد فروق ذات دلالة إحصائية بين section3 و section 4 .

• **زاوية انطلاق الكرة**

- هناك فروق ذات دلالة إحصائية بين section 1 وكل من (section 2 -section 3) ، كما يوجد فروق ذات دلالة إحصائية بين section2 وكل من (section 3 -section 4) ، كما يوجد فروق ذات دلالة إحصائية بين section3 و section 4 .

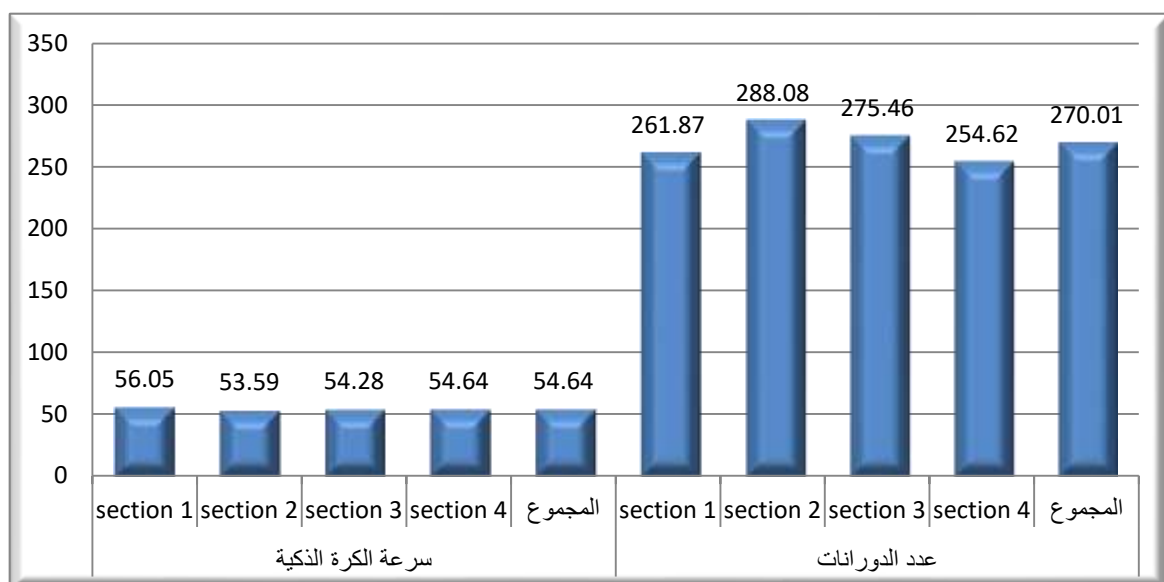
جدول (٧)
 الدلالات الإحصائية الخاصة بسرعة الكرة الذكية ودورانها لحظة (أقصى سرعة لحظة لمس الكرة)
 خلال التصويب في اربع اركان المرمي قيد البحث ن = ١٥٦

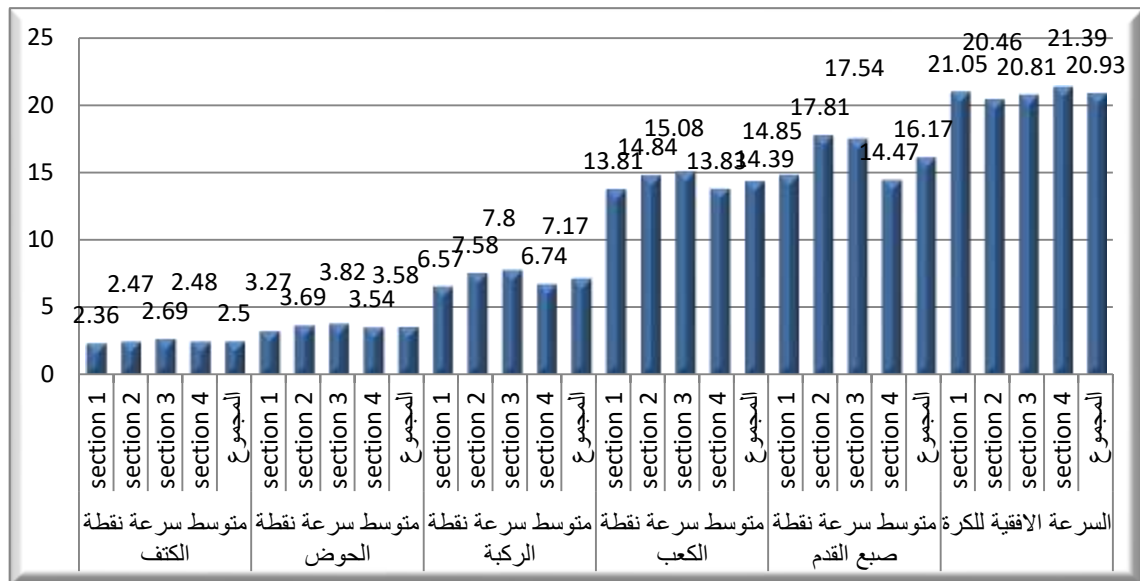
مستوى الدلالة	قيمة (ف)	أكبر قيمة	أقل قيمة	الانحراف المعياري	المتوسط	العينة	المجموعات	المؤشرات
0.42	0.94	70.00	41.00	7.04	56.05	39	section 1	سرعة الكرة الذكية
		67.00	41.00	6.14	53.59	39	section 2	
		68.00	41.00	6.53	54.28	39	section 3	
		71.00	39.00	7.00	54.64	39	section 4	
		71.00	39.00	6.68	54.64	156	المجموع	
0.45	0.88	469.00	79.00	90.71	261.87	39	section 1	عدد الدورانات
		520.00	71.00	92.80	288.08	39	section 2	
		462.00	69.00	106.09	275.46	39	section 3	
		500.00	55.00	104.59	254.62	39	section 4	
		520.00	55.00	98.67	270.01	156	المجموع	
0.03	*2.96	3.44	1.58	0.48	2.36	39	section 1	متوسط سرعة نقطة الكتف
		3.42	1.71	0.43	2.47	39	section 2	
		3.69	1.75	0.50	2.69	39	section 3	
		3.97	1.66	0.57	2.48	39	section 4	
		3.97	1.58	0.51	2.50	156	المجموع	
0.00	*7.24	4.35	2.19	0.56	3.27	39	section 1	متوسط سرعة نقطة الحوض
		4.78	2.36	0.53	3.69	39	section 2	
		5.33	2.37	0.60	3.82	39	section 3	
		4.65	2.57	0.53	3.54	39	section 4	
		5.33	2.19	0.59	3.58	156	المجموع	
0.00	*13.41	8.89	4.49	1.05	6.57	39	section 1	متوسط سرعة نقطة الركبة
		9.68	5.18	1.03	7.58	39	section 2	
		10.34	4.89	1.01	7.80	39	section 3	
		9.59	5.01	1.05	6.74	39	section 4	
		10.34	4.49	1.15	7.17	156	المجموع	
0.00	*12.92	16.70	11.20	1.25	13.81	39	section 1	متوسط سرعة نقطة الكعب
		16.89	12.33	1.14	14.84	39	section 2	
		17.54	12.86	1.02	15.08	39	section 3	
		17.63	10.84	1.20	13.83	39	section 4	
		17.63	10.84	1.28	14.39	156	المجموع	
0.00	*30.20	20.43	11.51	1.95	14.85	39	section 1	متوسط سرعة نقطة صبع القدم
		22.77	14.56	1.89	17.81	39	section 2	
		23.08	13.90	2.09	17.54	39	section 3	
		22.10	11.15	2.02	14.47	39	section 4	
		23.08	11.15	2.49	16.17	156	المجموع	
0.55	0.70	27.73	15.12	2.94	21.05	39	section 1	السرعة الأفقية للكرة
		26.55	14.19	3.00	20.46	39	section 2	
		27.10	16.55	2.70	20.81	39	section 3	
		32.44	17.08	3.12	21.39	39	section 4	
		32.44	14.19	2.93	20.93	156	المجموع	
0.00	*54.44	7.43	2.93	1.00	5.26	39	section 1	السرعة الرأسية للكرة
		8.58	4.04	1.06	6.15	39	section 2	
		7.41	2.14	1.17	4.01	39	section 3	
		6.00	0.53	1.21	3.18	39	section 4	
		8.58	0.53	1.59	4.65	156	المجموع	
0.86	0.25	28.71	15.94	2.91	21.73	39	section 1	محصلة السرعة
		27.90	14.76	3.02	21.38	39	section 2	
		27.57	16.99	2.72	21.22	39	section 3	
		32.60	17.40	3.11	21.66	39	section 4	
		32.60	14.76	2.92	21.50	156	المجموع	

مستوى الدلالة	قيمة (ف)	أكبر قيمة	أقل قيمة	الانحراف المعياري	المتوسط	العينة	المجموعات	المؤشرات
0.37	1.07	26.72	15.11	2.78	21.27	39	section 1	متوسط السرعة الافقية للكرة
		26.39	14.63	2.82	20.43	39	section 2	
		27.71	17.37	2.50	20.88	39	section 3	
		31.96	16.76	2.92	21.46	39	section 4	
		31.96	14.63	2.76	21.01	156	المجموع	
0.00	*63.57	7.57	3.14	1.02	5.32	39	section 1	متوسط السرعة الرأسية للكرة
		8.59	4.10	0.97	6.23	39	section 2	
		6.99	2.20	1.12	3.98	39	section 3	
		5.69	0.78	1.17	3.16	39	section 4	
		8.59	0.78	1.59	4.67	156	المجموع	
0.68	0.50	27.72	15.99	2.73	21.96	39	section 1	محصلة متوسط السرعة
		27.75	15.26	2.82	21.38	39	section 2	
		28.18	17.80	2.50	21.29	39	section 3	
		32.12	17.26	2.90	21.72	39	section 4	
		32.12	15.26	2.73	21.59	156	المجموع	
0.69	0.49	28.77	16.36	2.82	22.54	39	section 1	السرعة القصوى للكرة
		28.40	15.62	2.90	21.94	39	section 2	
		28.84	18.20	2.57	21.88	39	section 3	
		32.98	17.76	3.00	22.33	39	section 4	
		32.98	15.62	2.81	22.17	156	المجموع	
0.00	*56.13	20.97	8.01	3.06	14.54	39	section 1	زاوية انطلاق الكرة
		23.77	10.29	2.98	17.35	39	section 2	
		18.24	6.08	3.19	11.15	39	section 3	
		16.65	1.28	3.47	8.63	39	section 4	
		23.77	1.28	4.57	12.92	156	المجموع	

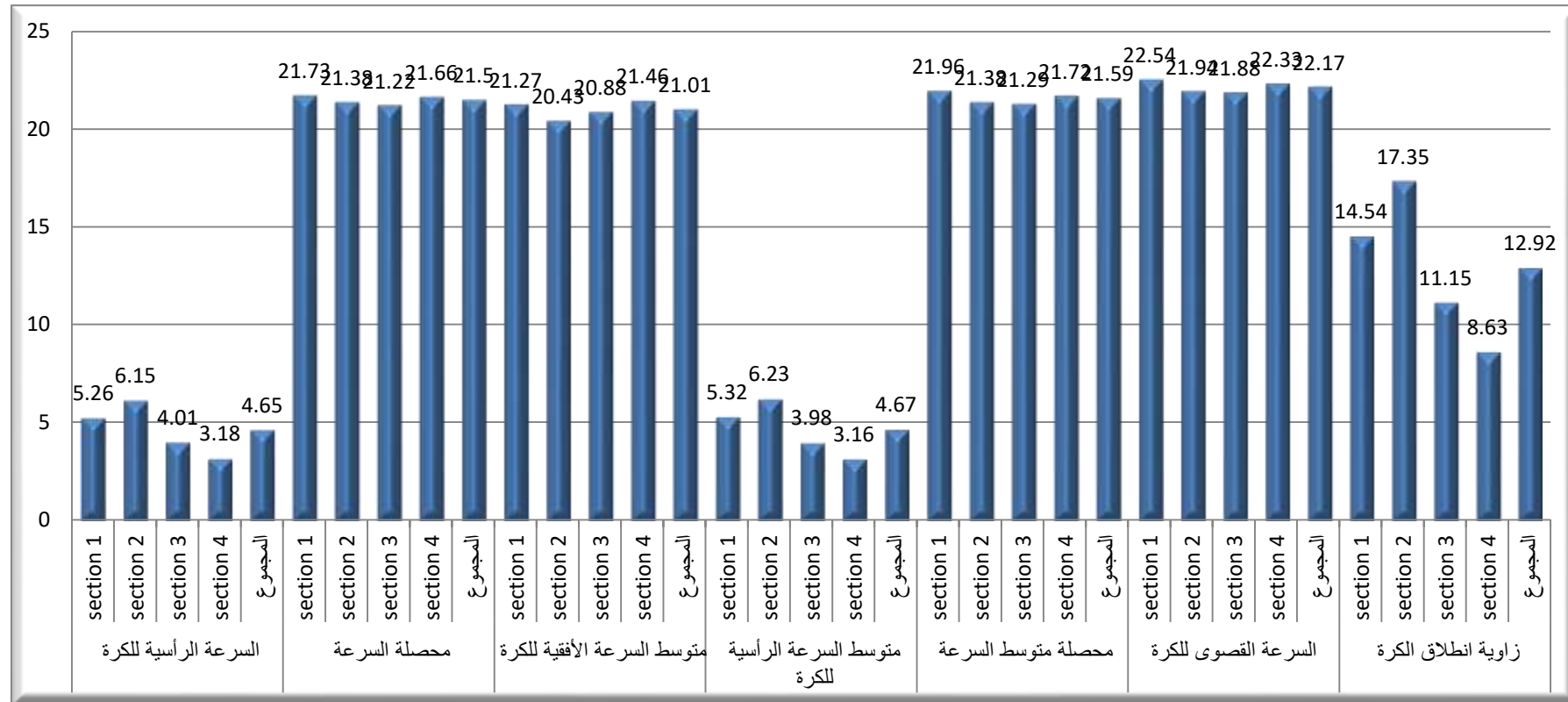
* قيمة (ف) الجدولية معنوى عند مستوى .٠٠٥

يتضح من جدول (٧) الخاص بالدلائل الإحصائية الخاصة بسرعة الكرة الذكية ودورانها لحظة (أقصى سرعة لحظة للمس الكورة) خلال التصويب على أربع اركان المرمي قيد البحث وجود فروق ذات دلالة احصائية عند مستوى .٠٠٥ في معظم المؤشرات حيث كانت قيمة ف المحسوبة أكبر من قيمة ف الجدولية عند مستوى .٠٠٥ وقيمة مستوى المعنوية أقل من .٠٠٥





الشكل البياني رقم (٧) الخاص بالمتوسطات الحسابية للمؤشرات البيوميكانيكية قيد البحث لحظة (أقصى سرعة لحظة للمس الكرة) خلال التصويب في اربع اركان المرمي قيد البحث



تابع الشكل البياني رقم (٨) الخاص بالمتوسطات الحسابية للمؤشرات البيوميكانيكية قيد البحث لحظة (أقصى سرعة لحظة للمس الكروي) خلل التصويب

في اربع اركان المرمي قيد البحث

جدول (٨)

اختبار توكي H.S.D عند مستوى ٥٪ لتحديد معنوية واتجاه الفروق في المتغيرات المعنوية المستخلصة من تحليل التباين في اتجاه واحد ن = ١٥٦

معنوية الفروق بين المتوسطات						المجموعات	المؤشرات
section 4	section 3	section 2	المتوسط الحسابي				
٠.٧١٨	٠.١١٨	٠.٠٢١	*٠.٣٢٨	٠.٧٤٨	٠.١١٣	2.36	متوسط سرعة نقطة الكتف
١.٠٠٠	٠.٠٠٥	٠.٢٢٧	٠.٢١٥			2.47	
٠.٢٤٨	٠.٢٠٩					2.69	
						2.48	
٠.١٣٣	٠.٢٧٤	٠.٠٠٠	*٠.٥٥٧	٠.٠٠٥	*٠.٤٢٦	3.27	متوسط سرعة نقطة الحوض
٠.٦٢٤	٠.١٥١	٠.٧٢٦	٠.١٣١			3.69	
٠.١١٦	٠.٢٨٢					3.82	
						3.54	
٠.٨٨٩	٠.١٦٩	٠.٠٠٠	*١.٢٣٢	٠.٠٠٠	*١.٠٠٣	6.57	متوسط سرعة نقطة الركبة
٠.٠٠٣	*٠.٨٣٤	٠.٧٦٦	٠.٢٢٨			7.58	
٠.٠٠٠	*١.٠٦٣					7.80	
						6.74	
١.٠٠٠	٠.٠٢٧	٠.٠٠٠	*١.٢٧٠	٠.٠٠١	*١.٠٣٩	13.81	متوسط سرعة نقطة الكعب
٠.٠٠١	*١.٠١١	٠.٨١٤	٠.٢٣٠			14.84	
٠.٠٠٠	*١.٢٤٢					15.08	
						13.83	
٠.٨٣٩	٠.٣٧٥	٠.٠٠٠	*٢.٦٩٤	٠.٠٠٠	*٢.٩٥٩	14.85	متوسط سرعة نقطة صبع القدم
٠.٠٠٠	*٣.٣٣٤	٠.٩٣٦	٠.٢٦٤			17.81	
٠.٠٠٠	*٣.٠٦٩					17.54	
						14.47	
٠.٠٠٠	*٢.٠٨٨	٠.٠٠٠	*١.٢٥٥	٠.٠٠٣	*٠.٨٨٢	5.26	السرعة الرئيسية للكرة
٠.٠٠٠	*٢.٩٧٠	٠.٠٠٠	*٢.١٣٧			6.15	
٠.٠٠٧	*٠.٨٣٢					4.01	
						3.18	
٠.٠٠٠	*٢.١٦٤	٠.٠٠٠	*١.٣٣٦	٠.٠٠٢	*٠.٩٠٥	5.32	متوسط السرعة الرئيسية للكرة
٠.٠٠٠	*٣.٠٦٩	٠.٠٠٠	*٢.٢٤٢			6.23	
٠.٠٠٥	*٠.٨٢٧					3.98	
						3.16	
٠.٠٠٠	*٥.٩٠١	٠.٠٠٠	*٣.٣٨١	٠.٠٠١	*٢.٨١٠	14.54	زاوية انطلاق الكرة
٠.٠٠٠	*٨.٧١١	٠.٠٠٠	*٦.١٩١			17.35	
٠.٠٠٣	*٢.٥٢٠					11.15	
						8.63	

*معنوى عند مستوى دلالة أقل من ٥٪

يتضح من جدول (٨) الخاص يوضح اختبار توكي H.S.D عند مستوى ٥٠٠٥ لتحديد معنوية واتجاه الفروق في المؤشرات المعنوية المستخلصة من تحليل التباين في اتجاه واحد أنه توجد فروق بين المجموعات حيث كانت على النحو التالي:

- متوسط سرعة نقطة الكتف
 - هناك فروق ذات دلالة إحصائية بين section 1 و section 3
- متوسط سرعة نقطة الحوض
 - هناك فروق ذات دلالة إحصائية بين section 1 وكل من (section 3 -section 2)
- متوسط سرعة نقطة الركبة
 - هناك فروق ذات دلالة إحصائية بين section 1 ، كما يوجد فروق ذات دلالة إحصائية بين section2 و section3 ، كما يوجد فروق ذات دلالة إحصائية بين section3 و section 4
- متوسط سرعة نقطة الكعب
 - هناك فروق ذات دلالة إحصائية بين section 1 وكل من (section 3 -section 2) ، كما يوجد فروق ذات دلالة إحصائية بين section2 و section3 ، كما يوجد فروق ذات دلالة إحصائية بين section3 و section 4
- متوسط سرعة نقطة صبع القدم
 - هناك فروق ذات دلالة إحصائية بين section 1 وكل من (section 3 -section 2) ، كما يوجد فروق ذات دلالة إحصائية بين section2 و section3 ، كما يوجد فروق ذات دلالة إحصائية بين section3 و section 4
- السرعة الرئيسية للكرة
 - هناك فروق ذات دلالة إحصائية بين section 1 ، كما يوجد فروق ذات دلالة إحصائية بين section2 وكل من (section 4-section 3 -section 2) ، كما يوجد فروق ذات دلالة إحصائية بين section3 ، كما يوجد فروق ذات دلالة إحصائية بين section3 و section 4
- متوسط السرعة الرئيسية للكرة
 - هناك فروق ذات دلالة إحصائية بين section 1 ، كما يوجد فروق ذات دلالة إحصائية بين section2 وكل من (section 4-section 3 -section 2) ، كما يوجد فروق ذات دلالة إحصائية بين section3 ، كما يوجد فروق ذات دلالة إحصائية بين section3 و section 4
- زاوية انطلاق الكرة
 - هناك فروق ذات دلالة إحصائية بين section 1 ، كما يوجد فروق ذات دلالة إحصائية بين section2 وكل من (section 4-section 3 -section 2) ، كما يوجد فروق ذات دلالة إحصائية بين section3 ، كما يوجد فروق ذات دلالة إحصائية بين section3 و section 4

مناقشة النتائج :

توضح الجداول أرقام (1) ، (2) ، (3) ، (4) والأشكال البيانية(١) ، (٢) ، (٣) ، (٤) الخاصة بمعاملات الارتباط بين المؤشرات البيوميكانيكية لسرعة الرجل المصوبة خلال (لحظتي المرجة الأمامية وأقصى سرعة للمس الكوة) و المخرجات البيوميكانيكية للكرة الذكية لكلا من سرعة الكرة ودورانها لحظة التصويب على المرمى بوجود علاقة طردية بين سرعة الكرة الذكية وكل من مؤشرات (متوسط سرعة نقطة الكتف- متوسط سرعة نقطة الحوض- متوسط سرعة نقطة الركبة- متوسط سرعة نقطة الكعب- متوسط سرعة صبع القدم- السرعة الأفقية للكرة - محصلة السرعة- متوسط السرعة الأفقية للكرة- محصلة متوسط السرعة- السرعة القصوى للكرة) ، ايضا وجود علاقة عكسية بين عدد الدورانات وكل من (متوسط سرعة نقطة الحوض- متوسط سرعة نقطة الركبة- متوسط سرعة نقطة الكعب- متوسط سرعة نقطة إصبع القدم).

ويتفق ذلك مع نتائج كلا من Hume et a (2005) Moschini,A&Smith (2012) لما أشاروا إليه لأهمية هذه المرحلة فتعتبر مرحلة المرجة الأمامية للرجل المصوبة بالغة الأهمية والمؤثرة على سرعة الكرة ودقة التصويب نظراً لمساهمتها في نقل كمية الحركة فمن أهم مؤشرات مرحلة الرجل هي سرعة القدم المصوبة ومستوى مرجحتها أثناء التصويب ، حيث تبدأ مرحلة المرجة للأمام بعد لمس القدم الثابتة على الأرض وتستمر في تسلسل أجزاء الرجل من القريب إلى بعيد باستخدام كمية الحركة التي تنتقل من خلال الرجل الثابتة والطاقة المخزنة عن طريق التحميل اللامركزي أثناء التأرجح فتساعد هذه الآليه في سرعة القدم الراكلة بصورة خطية ، فمن خلال ذلك يعمل على تعزيز مرجة الرجل المصوبة خلال التصويب بزيادة سرعة الكرة وتوجيهها نحو المرمى حيث تحدث حركات الجزء العلوي من الجسم في وقت واحد متزامنه مع مرحلة الرجل المصوبة والتي تعمل على زيادة سرعة الكرة، فمن خلال مساعدة انتقال السرعة وكمية الحركة إلى الأجزاء السفلية من تلامس القدم بالكرة والتي تؤدي الى سرعة عالية للكرة وتزايد دورانها ومسارطيرانها لعبور المرمى وتحقيق التصويب بشكل كبير من الفاعلية والدقة .

يذكر Augustus (2021) أن تأثير لحظة أقصى سرعة للرجل للمس الكوة تدوم حوالي ١٠ ملي ثانية عند ملامسة الكوة، فتدور القدم التي تركل للخارج، وتتشتت مفصل الكاحل والقدم .

وتوضح نتائج الجداول أرقام (٥) ، (٦) ، (٧) ، (٨) والأشكال البيانية (٥) ، (٦) ، (٧) ، (٨) الخاصة بالدلائل الإحصائية للمؤشرات البيوميكانيكية خلال مرحلة أقصى سرعة للرجل المصوبة (لحظتي المرجة الأمامية ، أقصى سرعة لمس الكوة) وعلاقة سرعة الكرة الذكية ودورانها خلال التصويب على أركان المرمى لحظة التصويب أن هناك فروق ذات دلالة إحصائية في المؤشرات البيوميكانيكية لـ(نقطة الكتف ، الحوض ، الركبة ، الكعب) لصالح section4 الركن الرابع يسارا من المرمى من حيث دوران وسرعة الكرة الذكية وزاويه انطلاقها .

حيث يُعد مسار وزاوية طيران الكرة هو ناتج الركلة والتي تظهر من خلالها مؤشر السرعة وزاوية التصويب لأن أقصى سرعة للكوة ستنتج أكبر مسافة وارتفاع فتظهر النتائج أن ركني الثالث والرابع من المرمى أكثر دلالة إحصائية وجود فروق ذات دلالة إحصائية بين section2 وكل من (section 3) ، كما يوجد فروق ذات دلالة إحصائية بين section3 و section4 في سرعة الكرة وزاويه انطلاقها وبالتالي عدد دورانات لها ويرجع الباحثين ذلك إلى أن الركلات إلى الركن اليسير من المرمى كانت بسرعة أعلى بكثير من الركلات إلى الركن الأيمن وذلك بسبب تمدد الركبة وانثناء مفصل الفخذ بشكل أكبر.

حيث أشار N Moschini, A., & Smith, (٢٠١٢) أن التمديد الكامل للرجل المصوبيه (الساقي - القدم) أثناء الركل للتصويب ضرورية لتحقيق أقصى سرعة للكوة وذلك لأنها رافعه من النوع الثالث وكلما كان ذراع المقاومة أطول من ذراع القوة كلما زادت إمكانية السرعة للكوة وبالتالي يزيد دورانها مما يجعل صد الكرة صعب على حارس المرمى وبالتالي تصبح التصويبه ناجحة وفعالة ، وأضافة أيضاً أن الدوران الأفقي للكرة يعمل على زياده سرعة وقوه الكرة فعندما تدور الكرة حول نفسها أثناء التصويب فتعمل على إبعادها عن متناول حارس المرمى فتزيد من صعوبه صد الكرة حيث لا يمتلك حارس المرمى الوقت الكافي للتحرك لإنقاذ المرمى من التصويب .

بينما إذا إنخدت الكرة أثناء التصويب خط مستقيم دون الدوران فيؤدي ذلك لارتفاع الكرة في البداية بزاويه انطلاق لها ومن ثم تؤثر الجاذبية الأرضية على إبطاء صعودها وقد تهبط أو تكون في متناول حارس المرمى لصدها .

فيرجع الباحثان ذلك إلى أن أحد التفسيرات المحتملة مرتبطة بالتغييرات في خصائص مستوى مرجحة الرجل المصوبة فإن وجود وضع أكثر امتداداً (ثني أقل للركبة) يسمح بمزيد من دوران الرجل المصوبة حول المحور الرأسى، مما يؤدي بدوره إلى دوران أكثر على الكرة ، فيعمل على انحراف مسار طيران الكرة إلى الركن الثاني والرابع يسار المرمى2 و section 4 وتنقق هذه النتائج مع ما توصل إليها Alcock وأخرون (٢٠١٢) يتم ذلك باعتبار مسار الطيران أكثر انحصاراً للكرة عندما كان مستوى مرجحة الرجل المصوبة التي تسدد الكرة أكثر ميلاً ، وذلك للمحافظة على أن تكون بعيدة عن منتصف المرمى ، فكلما كانت نقطة ملامسة القدم أبعد من خط منتصف الكرة كلما كانت سرعة الكرة الناتجة أصغر في حين أن معدل الدوران سيكون منطقياً أكبر بسبب القوة الالامركزية المطبقة على الكرة ، ونظراً لأن الكرة ترکل بعيداً عن المركز لانتاج الدوران فمن المنطقي أن يكون هناك إنخفاض في نقل السرعة خلال مرکز الكرة مما يفسر إنخفاض سرعة القدم فهم تُعد أفضل مؤشر لسرعة الكرة.

فالتصوير في أحد أركان المرمى يكون أكثر فعالية ودقة وصعوبة على حارس المرمى حيث يكون الهدف بعيد عن منتصف المرمى فعاده ما يكون نجاح حارس المرمى محدود في إنقاد التسديد نظراً لوضع حارس المرمى المركزي .

وبناءً على هذه النتائج، يمكن للمدربين توجيه اللاعبين الذين يميلون إلى التصويب إلى اليسار أو اليمين من المرمى، أن يتوجهوا إلى تغيير آليات الرجل المصوبة (إما عن طريق تعزيز زيادة ثني الركبة أو تقليلها اعتماداً على أداء اللاعب كوسيلة لتحسين وتطوير التصويب الفعال .

الأستنتاجات :

في ضوء النتائج التي تم التوصل إليها وفي حدود طبيعة وخصائص عينه البحث والمعالجات الاحصائية وطبقاً لتحقيق أهداف البحث تم التوصل إلى :

- ١- يوجد علاقة إرتباط بين مخرجى دوران و سرعة الكرة الذكية وكل من (متوسط سرعة نقطة الكتف- متوسط سرعة نقطة الحوض- متوسط سرعة نقطة الركبة- متوسط سرعة نقطة الكعب- متوسط سرعة نقطة إصبع القدم- السرعة الأفقية للكرة - محصلة السرعة- متوسط السرعة الأفقية للكرة- محصلة متوسط السرعة- السرعة القصوى للكرة)
- ٢- فعالية المخرجات البيوميكانيكية للكرة الذكية في إستخراج أهم مؤشرات الكرة (دوران الكرة، مسار انطلاقها ، سرعتها) بصورة مباشرة مما أدى لاستخلاص النتائج بصورة فورية .
- ٣- هناك فروق ذات دلالة إحصائية بين 1 section و كل من (2 section-3 section) ، كما يوجد فروق ذات دلالة إحصائية بين 4 section و 2 section ، كما يوجد فروق ذات دلالة إحصائية بين 3 section و 4 section لمؤشرات متوسط السرعة لكل من (الكتف، الحوض ، الركبة ، الكعب ، إصبع القدم) والمدى الحركي لزاوية الركبة – السرعة الرئيسية للكرة وزاويه انطلاقها خلل لحظي المرجحة الأمامية وأقصى سرعة للمس الكرة أثناء التصويب على أربع أركان المرمى .

التوصيات :

في ضوء النتائج التي تم التوصل إليها وفي حدود طبيعة وخصائص عينه البحث والمعالجات الاحصائية وطبقاً لتحقيق أهداف البحث يوصى الباحثان بما يلى :

- ١- الاسترشاد بالمؤشرات البيوميكانيكية لسرعه الرجل المصوبة قيد البحث في تقويم برامج تدريب لاعبي كرة القدم .
- ٢- ضرورة الاستعانة بالعلاقات الارتباطية لنتائج المؤشرات البيوميكانيكية لسرعه الرجل المصوبة التي تساعد في تحسين التصويب الفعال.
- ٣- الاسترشاد بالمخرجات البيوميكانيكية للكرة الذكية (سرعة الكرة – عدد دورانها- مسار انطلاقها) في البرامج التدريبيه وعلى مستويات مختلفة من اللاعبين.
- ٤- استخدام الكرة الذكية في البرامج التدريبيه لما لها تأثير على تحسن المهارات الحركية خاصة الركل .
- ٥- إجراء بحوث مماثلة للمقارنة بين اللاعبين في التصويب من مستويات مختلفة ولاشطة مختلفة .

قائمة المراجع

أولاً: المراجع العربية

- ١- صريح عبد الكريم الفضلي (٢٠٠٠): محاضرات موثقة في البيوميكانيك على طابة الدكتوراه ، كلية التربية الرياضية، جامعة بغداد
- ٢- _____ (٢٠٠٧): تطبيقات البيوميكانيك في التدريب الرياضي والأداء الحركي ، بغداد ، مطبعة عدي.
- ٣- قيس قحطان داود (٢٠١٨): وضع تدريبات بليومترية وفقاً لبعض المتغيرات البيوميكانية والعضلية لتحسين أداء الركلة من علامة الجزاء في الكرة القدم، رسالة دكتوراه، كلية التربية الرياضية للبنات ، جامعة الاسكندرية .

ثانياً: المراجع الأجنبية

- 4- Alcock AM, Gilleard W, Hunter AB, Baker J, Brown N (2012): Curve and instep kick kinematics in elite female footballers. *J Sports Sci*; 30: 387–394
- 5- Andersen, T. B., & Dörge, H. C (2011): The influence of speed of approach and accuracy constraint on the maximal speed of the ball in soccer. *Scandinavian Journal of Medicine & Science in Sports*, 21, 79-84.
- 6- Augustus, S., Hudson, P. E., & Smith, N (2021): The effect of approach velocity on pelvis and kick leg angular momentum conversion strategies during football instep kicking. *Journal of Sports Sciences*, 39(20), 2279-2288.
- 7- Ferdinands, R. (2011): Analysis of segmental kinetic energy in cricket bowling. *Procedia Engineering*, 13, 246-251.
- 8- Hume, P. A., Keogh, J., & Reid, (2005): The role of biomechanics in maximising distance and accuracy of golf shots. *Sports Medicin*, 35(5), 429-449
- 9- Kellis,E,Katis (2007): Biomechanical Charateristics and determinanants of instep soccer kik .J.sports sci p 154-165
- 10- Moschini, A., & Smith, N (2012): Effect of shoe mass on soccer kicking velocity. In E. J. in Sports (Vol. 30). Melbourne, Australia.). Effect of shoe mass on soccer kicking velocity. In E. J.
- 11- Mansour Attaallah, Sami Bassiouni, Harald Tscha (2021): The Penalty Kick Accuracy in Soccer: A New Biomechanical Approach, *Journal of Human Sport and Exercise* 16(4):S1538-S1548.

ثالثاً: الشبكة الدولية للمعلومات

- 12- <https://www.albayan.ae/technology/2014-05-27-1.2131358>.

المُلْكُ

الخرجات البيوميكانيكية للكرة الذكية وعلاقتها بسرعة الرجل المصوبة لحظة التصويب على مرمي كرة القدم

د. سامي حامد السيد بسيوني
دكتوراه في التدريب الرياضي وعلوم الحركة
كلية التربية الرياضية للبنات
جامعة الإسكندرية

أ.م.د. أيمن مصطفى محمد أبو العلا
أستاذ مساعد بقسم التدريب الرياضي وعلوم الحركة
كلية التربية الرياضية للبنات
جامعة الإسكندرية

يهدف البحث الى التعرف على أهم المخرجات البيوميكانيكية للكرة الذكية و لسرعة الرجل المصوبة خلال لحظة المرجة الامامية وأقصى سرعة للمس الكرة (لحظة التصويب على المرمى) تحديد العلاقة الارتباطية بين المخرجات البيوميكانيكية للكرة الذكية وسرعة الرجل المصوبة خلال لحظة المرجة الامامية وأقصى سرعة للمس الكرة (لحظة التصويب على المرمى) تحديد العلاقة الارتباطية بين المخرجات البيوميكانيكية للكرة الذكية خلال لحظة المرجة الامامية وأقصى سرعة لمس الكوة لحظة التصويب على أربع أركان المرمى ، وقد استخدم الباحثان المنهج الوصفي القائم على التحليل الحركي البيوميكانيكي لملائمه طبيعة البحث . وطبقت هذه الدراسة علي عينة عشوائية من لاعبي فريق كرة القدم تحت ١٦ سنة بنادي سيميرنجر (club Simmeringer sport) بفيينا النمسا ومسجلين بالدورى النمساوي حيث بلغ قوام العينة ١٥ لاعب ، عدد (١٣) لاعب للدراسة الأساسية و عدد (٢) لاعب من خارج العينة الاساسية ولذلك لاجراء الدراسة الاستطلاعية واظهرت النتائج فعالية المخرجات البيوميكانيكية للكرة الذكية في إستخراج أهم مؤشرات الكرة (دوران الكرة ، مسار انطلاقها ، سرعتها) بصورة مباشرة مما أدى لاستخلاص النتائج بصورة فورية ، هناك فروق ذات دلالة إحصائية بين 1 section وكل من (2 section - 3 section) ، كما يوجد فروق ذات دلالة إحصائية بين 2 section و 4 section ، كما يوجد فروق ذات دلالة إحصائية بين 3 section و 4 section لمؤشرات متوسط السرعة لكل من (الكتف ، الحوض ، الركبة ، الكعب ، إصبع القدم) والمدى الحركي لزاوية الركبة – السرعة الرئيسية للكرة وزاويه إنطلاقها خلال لحظة المرجة الامامية وأقصى سرعة للمس الكورة أثناء التصويب علي أربع أركان المرمى ، ومن خلال هذه النتائج يوصي الباحثان بإستخدام الكرة الذكية في البرامج التدريبية لما لها تأثير علي تحسن المهارات الحركية خاصة الرجل ، الاسترشاد بالمؤشرات البيوميكانيكية لسرعه الرجل المصوبة قيد البحث في تقويم برامج تدريب لاعبي كرة القدم .

Summary

Biomechanical outputs of the smart ball and their relationship to the speed of the shooting leg at the moment of shooting at the football goal

Asso. Prof. Eman Mostafa Mohamed Aboelalaa

Associate Professor

Department of Sports Training and Movement Science
Faculty of Physical Education for Girls
Alexandria University

Dr. Sami hamed Elsayed Bassiouni

Doctoral Department of Sports Training and Movement Science
Faculty of Physical Education for Girls
Alexandria University

The research aims to identify the most important biomechanical outputs of the smart ball and the speed of the shot man during the two moments of forward swing and the maximum speed of touching the ball (the moment of shooting on goal), determine the correlation between the biomechanical outputs of the smart ball and the speed of the shot man during the two moments of forward swing and the maximum speed of touching the ball (the moment of shooting on goal), determine the correlation between the biomechanical outputs of the smart ball during the two moments of forward swing and the maximum speed of touching the ball at the moment of shooting on the four corners of the goal, This study was applied to a random sample of players of the under-16 football team of the Simmeringer Sport Club in Vienna, Austria, registered in the Austrian League. The sample consisted of 15 players, (13) players for the basic study and (2) players from outside the basic sample. Therefore, to conduct the exploratory study. The results showed the effectiveness of the biomechanical outputs of the smart ball in extracting the most important indicators of the ball (ball rotation, its launch path, its speed) directly, which led to extracting the results immediately. There are statistically significant differences between section 1 and each of (section 2-section 3), and there are statistically significant differences between section 2 and section 4, and there are statistically significant differences between section 3 and section 4 for the average speed indicators for each of (shoulder, pelvis, knee, heel, toe) and the range of motion of the knee angle - the vertical speed of the ball and its launch angle during the two moments of the forward swing and the maximum speed of touching the ball while shooting at the four corners of the goal. Through these results, the researchers recommend using the smart ball in training programs because of its effect on improving motor skills, especially kicking, and being guided by the biomechanical indicators of the speed of the shot leg under investigation in evaluating football player training programs.